

# О парадигме универсального языка параллельного программирования

*А.В. Климов*  
*arkady.klimov@gmail.com*

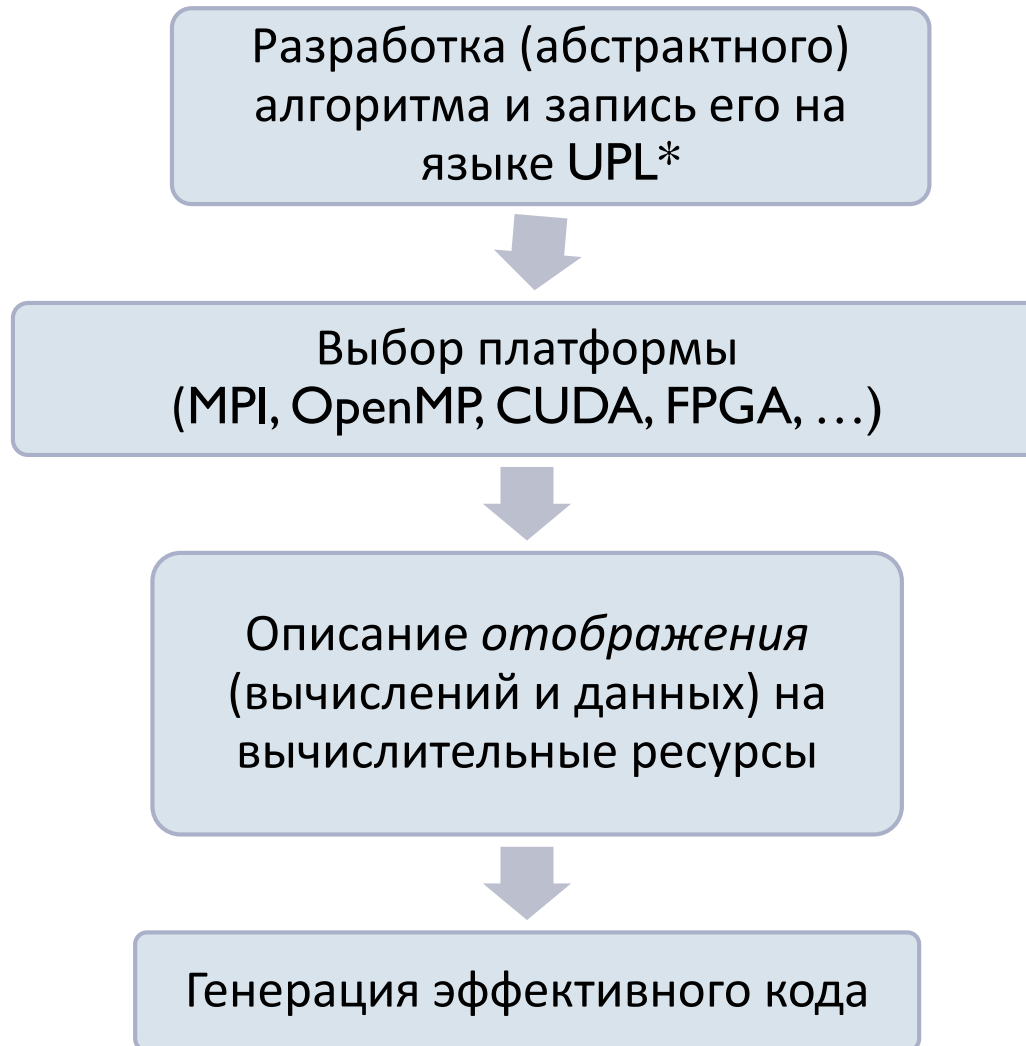
*Институт проблем проектирования в микроэлектронике (ИППМ) РАН*

Языки программирования и компиляторы  
PLC'2017  
Ростов-на-Дону  
3 апреля 2017

# Проблема параллельного программирования

- ▶ Параллельное программирование – трудное дело
- ▶ Существует множество разных параллельных архитектур и платформ
- ▶ Возможно ли иметь один язык для записи *абстрактных* (минимально зависящих от свойств «железа») алгоритмов и компилировать с него для всех платформ?
- ▶ Это парадигма WORE (или WOCA):  
Write-Once-Run-Everywhere (-Compute-Anywhere)
- ▶ Должно допускаться непосредственное исполнение (быть может неэффективное)
- ▶ Возможны дополнительные средства отображения
- ▶ Какие есть еще предложения на эту тему?

# Стадии разработки – что хотелось бы в идеале



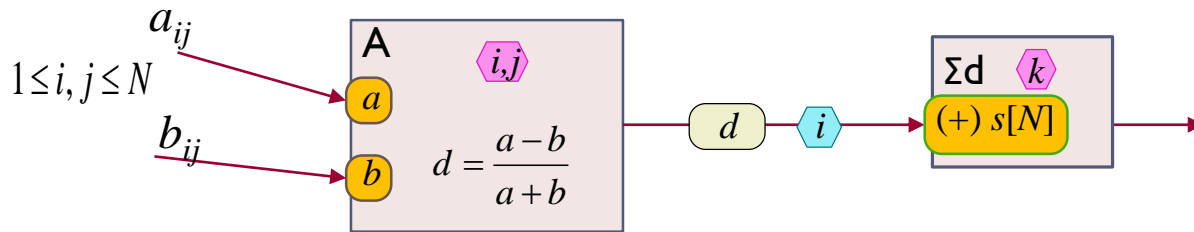
\*UPL – Universal Parallel Language

# Существующие WORE проекты

(все основаны на потоковой модели вычислений)

Имя (кто, где, когда) I	Особенности	G/S	Применение
LabVIEW (National Instruments, USA, 1986)	Графический язык программирования. Есть компиляция для FPGA.	G	Ограниченная область (измерения и управление)
Single Assignment C (SAC) (University of Kiel, Germany, 1994)	Функциональный язык, синтаксис как C, строгая типизация, вывод типов, shape-инвариантность, в стиле map/fold.	G	Работа с плотными массивами
Concurrent Collections (CnC) и его производные: DFGR, PIPES. Изначально: Tstreams (HP Labs)	Двудольный граф с явными тегам. Данные и операции отдельно. Отдельные средства отображения.	G	Вычисления с детерминированным деревом задач. Парадигма «сбора».
TensorFlow (Google)	Библиотека операций над плотными многомерными массивами – тензорами	G	Deep Neural Networks
Полиэдральная модель для линейных вложенных циклов	Входной язык – обычный C или фортран (аффинное подмножество). Средств отображения нет .	G	Автоматическое распараллеливание (для аффинных программ) на OpenM CUDA. Распределение автоматическ
ПИФАГОР (Красноярский тех. Университет, Россия) Легалов и Ко. С 1995.	Оригинальный функционально-потоковый язык. Операции над векторами (плотными). Неявный if . Задержанный список. Рекурсия.	G	Исследования. От мелкозернистого параллелизма к архитектурно-зависимому коду.
UPL(G) (Москва, Россия, ИППМ РАН, 2016)	Динамический потоковый язык с явными индексами. Графический язык. Отдельные средства отображения	S	Распределенная обработка с нерегулярными и разреженными данными
Charm++ plus Charisma	Перемещаемые объекты (агенты) с состояниями, односторонние вызовы, Charisma – orchestrating language	S	То же. RTS своя (не WORE).

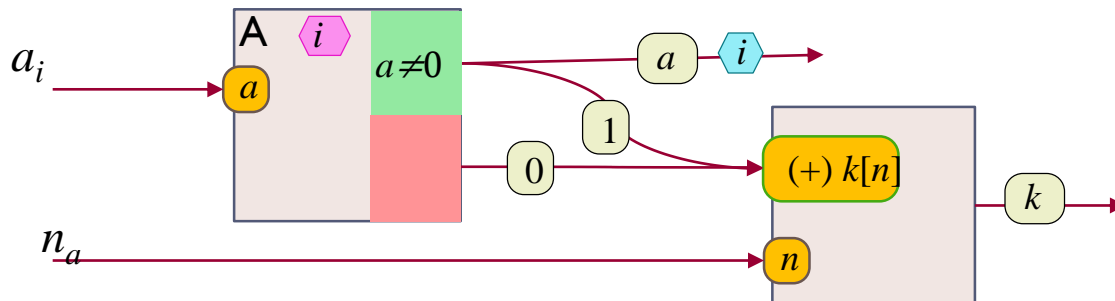
# Элементы графического языка - и их текстовые аналоги



```

vconst N;
node A(float a,
        float b) {i,j} {
    d = (a-b) / (a+b);
    d → SD{i};
}
node SD(
    float reduce (+) s[N]
) {i} {
    s → ...
}
    
```

Пример 0.1: поэлементная обработка пары матриц A и B с последующим суммированием по строкам



```

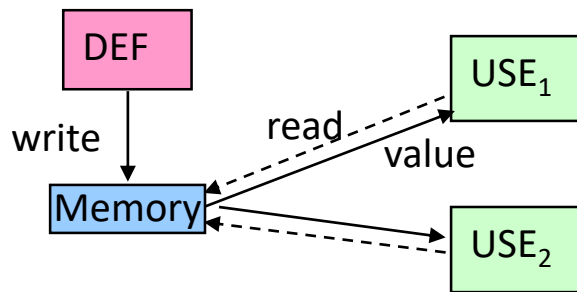
node A(float a) {i} {
    if (a/=0) {
        a → ...
        1 → S1.k;
    } else
        0 → S1.k;
}
node S1(
    int reduce (+) k[n],
    int n) {i} {
    s → ...
}
    
```

Пример 0.2: прореживание нулей и подсчет количества оставшихся элементов

# Парадигмы сбора и раздачи

Все традиционные языки основаны на парадигме сбора

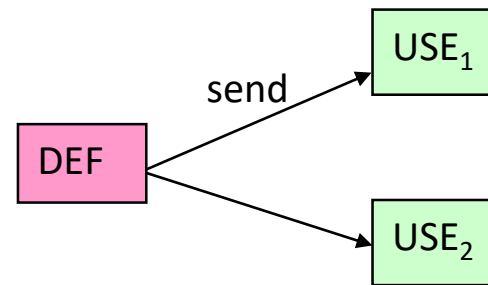
## Парадигма СБОРА (C, Fortran, etc)



Поставщик сохраняет свой результат в памяти по некоторому адресу, откуда его запрашивают потребители по мере надобности (по тому же адресу)

Обычно результат сохраняется рядом с производителем – принцип owner computes

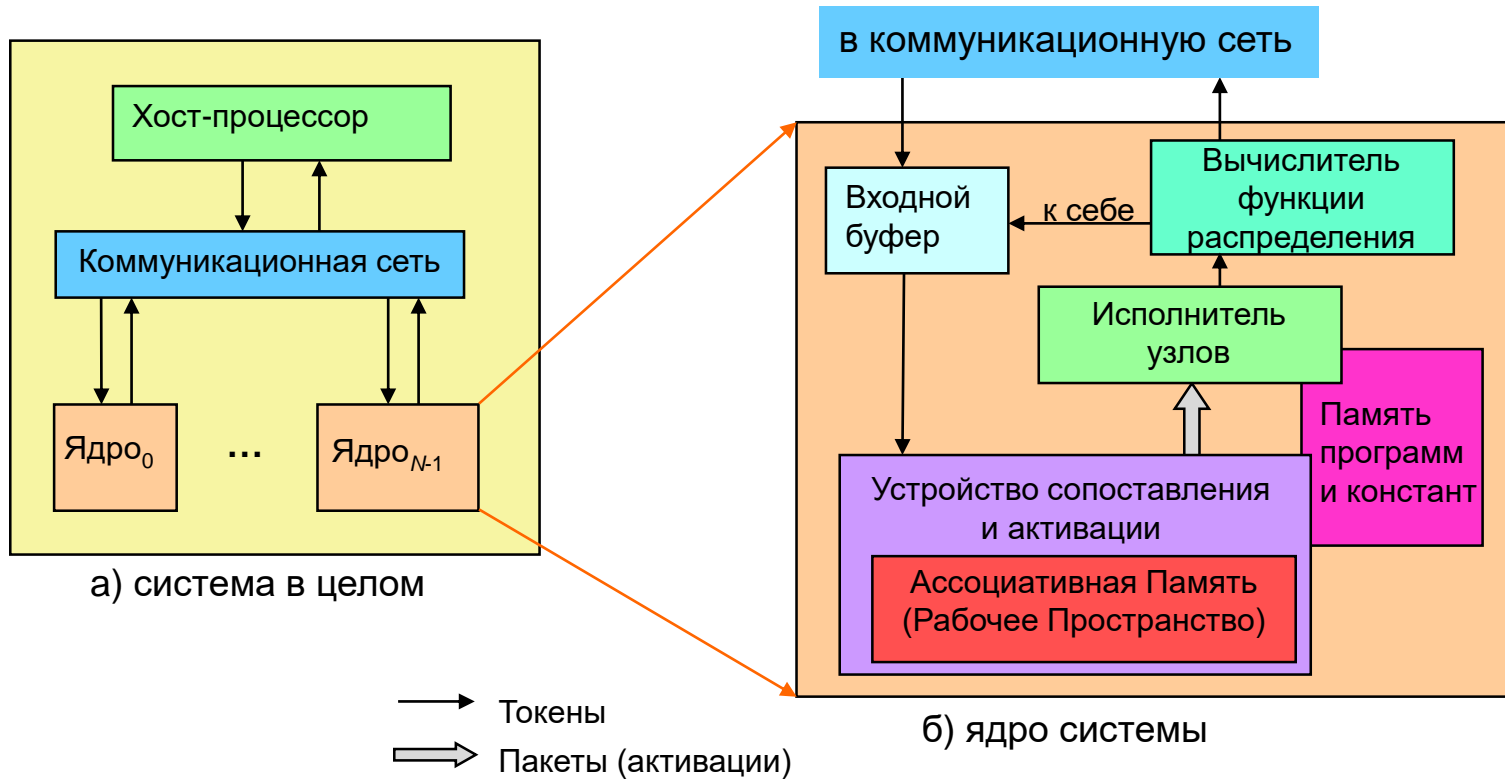
## Парадигма РАЗДАЧИ (dataflow, message passing, CHARM++)



Поставщик знает (вычисляет) сам «адреса» всех потребителей, на которые и рассылает свой результат.

Для распределенного вычисления парадигма раздачи лучше:  
одна передача вместо двух, нет ожидания при чтении

# Абстрактная схема (модель) параллельного вычислителя для языка UPL



Формат токена:

№ ядра	Ключ		№ входа	Значение (вход узла)
	№ узла	Индекс		

Формат пакета:

Входная точка (№ узла)	Индекс	Вход 1	Вход 2	... Вход k
---------------------------	--------	--------	--------	------------

Функции распределения:

**place:** Ключ → Номер ядра  
**stage:** Ключ → Номер этапа

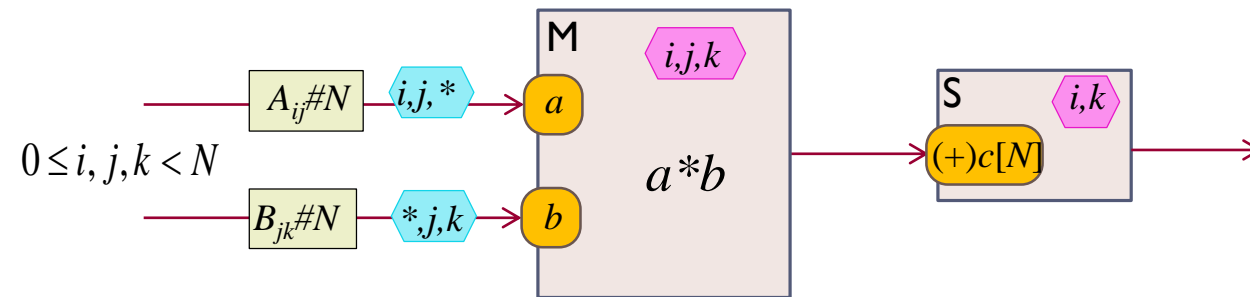
# Распределение вычислений по пространству и времени

- ▶ Распределение узлов задается функцией, зависящей от тегов (индексов) и только от них (своей для каждого типа узла).
- ▶ Функция `place(tag)` выдает номер процессора (ядра)
- ▶ Функция `stage(tag)` выдает номер этапа
- ▶ ФР применима как к исполняемому узлу, так и к токenu
- ▶ Монотонность `stage`
- ▶ При выборе `place` две задачи – улучшить баланс загрузки и уменьшить число пересылаемых токенов (пространственная локальность)
- ▶ При выборе `stage` задача – уменьшить число откачек-подкачек, или сократить объем потребной ассоциативной памяти ключей (временная локальность)
- ▶ Значения ФР могут быть многомерными  $(i, j, k, \dots)$ : для `place` это координаты в кубе (торе), для `stage` это задает упорядочение через лексикографический порядок.
- ▶ Для токенов с \* ФР может порождать мультикастинг (`place`) или многократные «подкачки» (`stage`)
- ▶ Выбор ФР не влияет на функциональность (если соблюдать ряд ограничений)
- ▶ ФР – необходимый элемент при выводе эффективного кода для заданной платформы



# NxN Matrix Multiplication

Основное определение алгоритма:



Текстовая форма:

```
vconst N;  
node A(float a,float b)<i,j,k> {  
    a*b → S.c<i,k>;  
}  
node S(float reduce(+)c[N])<i,k>{  
    c → ...  
}
```

Засылка данных:

$(a_{ij}) \# N \rightarrow V.a \langle i, j, * \rangle$   
 $(b_{jk}) \# N \rightarrow V.a \langle *, j, k \rangle$

Функции распределения:

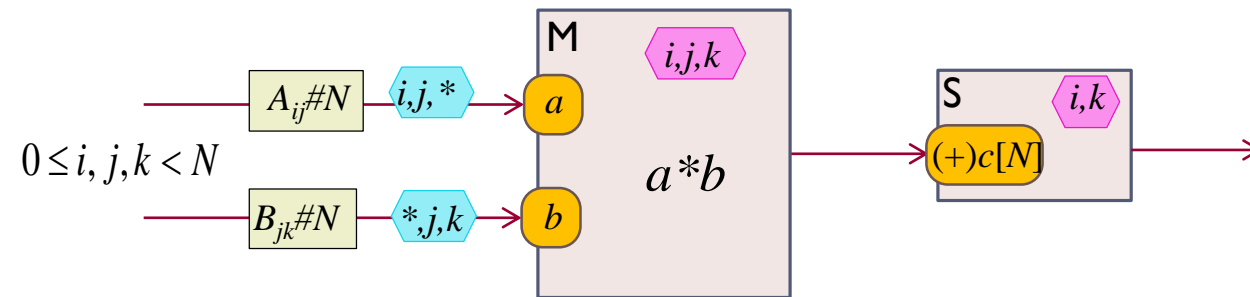
$Place = (0)$   
 $Stage = (i, k, j)$

Стандартный последовательный алгоритм (C):

```
for (i=0; i<N; i++)  
    for (k=0; k<N; k++) {  
        c[i][k]=0.0  
        for (j=0; j<N; j++)  
            c[i][k]+=a[i][j]*b[j][k]  
    }
```

# NxN Matrix Multiplication

Основное определение алгоритма:



Текстовая форма:

```
vconst N;
node A(float a, float b)⟨i, j, k⟩ {
    a * b → S.c⟨i, k⟩;
}
node S(float reduce(+)c[N])⟨i, k⟩ {
    c → ...
}
```

Засылка данных:

$(a_{ij})\#N \rightarrow V.a\langle i, j, * \rangle$   
 $(b_{jk})\#N \rightarrow V.a\langle *, j, k \rangle$

Функции распределения:

$Place = (0)$   
 $Stage = (i/m, k/m, j/m, i\%m, k\%m, j\%m)$

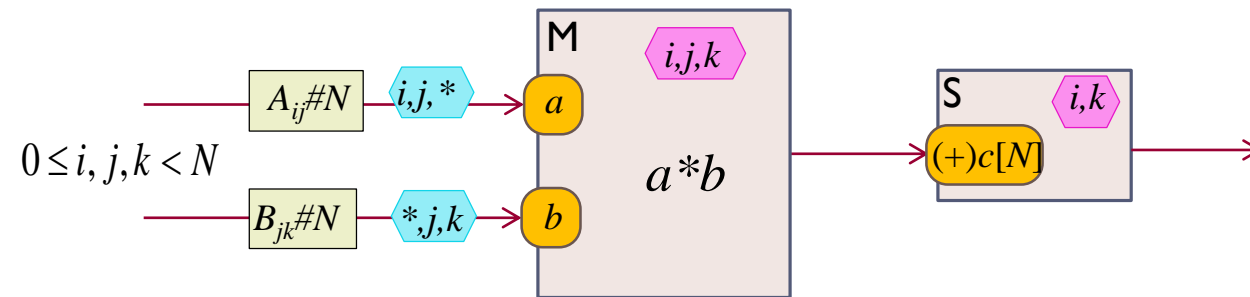
$m$  – размер блока

Блочный последовательный алгоритм:

```
for (i=0; i<N; i+=m)
    for (k=0; k<N; k+=m) {
        for (i1=0; i1<min(m, N-i*m); i1++)
            for (k1=0; k1<min(m, N-k*m); k1++)
                c[i+i1][k+k1]=0.0
        for (j=0; j<N; j+=m) {
            for (i1=0; i1<min(m, N-i*m); i1++)
                for (k1=0; k1<min(m, N-k*m); k1++)
                    for (j1=0; j1<min(m, N-j*m); j1++)
                        c[i+i1][k+k1] += a[i+i1][j+j1]*b[j+j1][k+k1]
        }
    };
```

# NxN Matrix Multiplication

Основное определение алгоритма:



Текстовая форма:

```
vconst N;
node A(float a, float b)⟨i, j, k⟩ {
    a * b → S.c⟨i, k⟩;
}
node S(float reduce(+)c[N])⟨i, k⟩ {
    c → ...
}
```

Засылка данных:

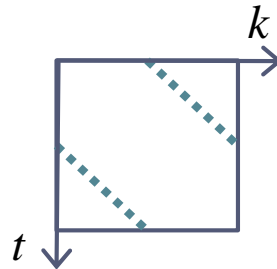
$(a_{ij}) \# N \rightarrow V.a\langle i, j, * \rangle$   
 $(b_{jk}) \# N \rightarrow V.a\langle *, j, k \rangle$

Функции распределения:

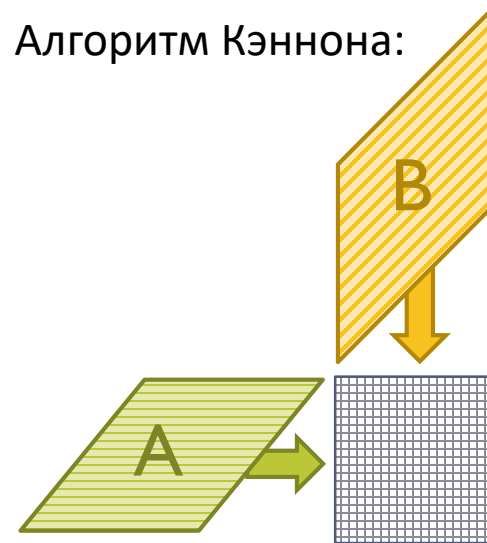
$Place = (i, k)$

$Stage = t = (i + j + k) \% N$

Движение элемента  
 $A_{ij}$  в плоскости  $(k, t)$



Алгоритм Кэннона:

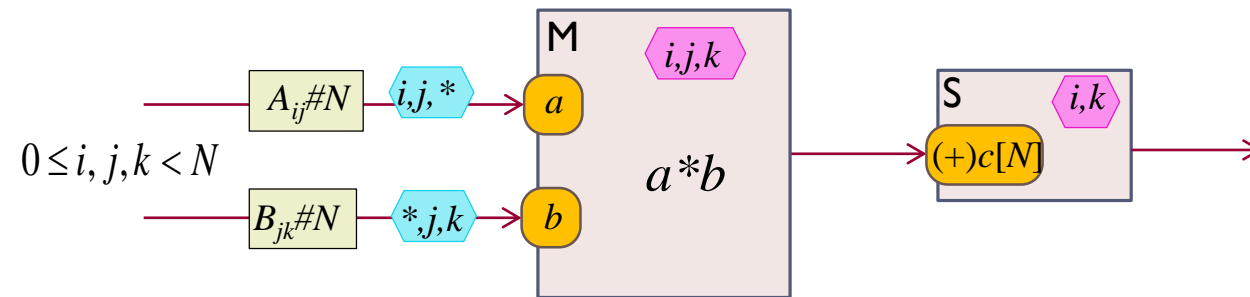


На каждом такте  
 матрицы A и B  
 продвигаются  
 на один элемент  
 вправо и вниз  
 соответственно

Матрица  
 процессоров  
 (2D-тор)

# NxN Matrix Multiplication

Основное определение алгоритма:



Текстовая форма:

```
vconst N;
node A(float a, float b)⟨i, j, k⟩ {
    a * b → S.c⟨i, k⟩;
}
node S(float reduce(+)c[N])⟨i, k⟩ {
    c → ...
}
```

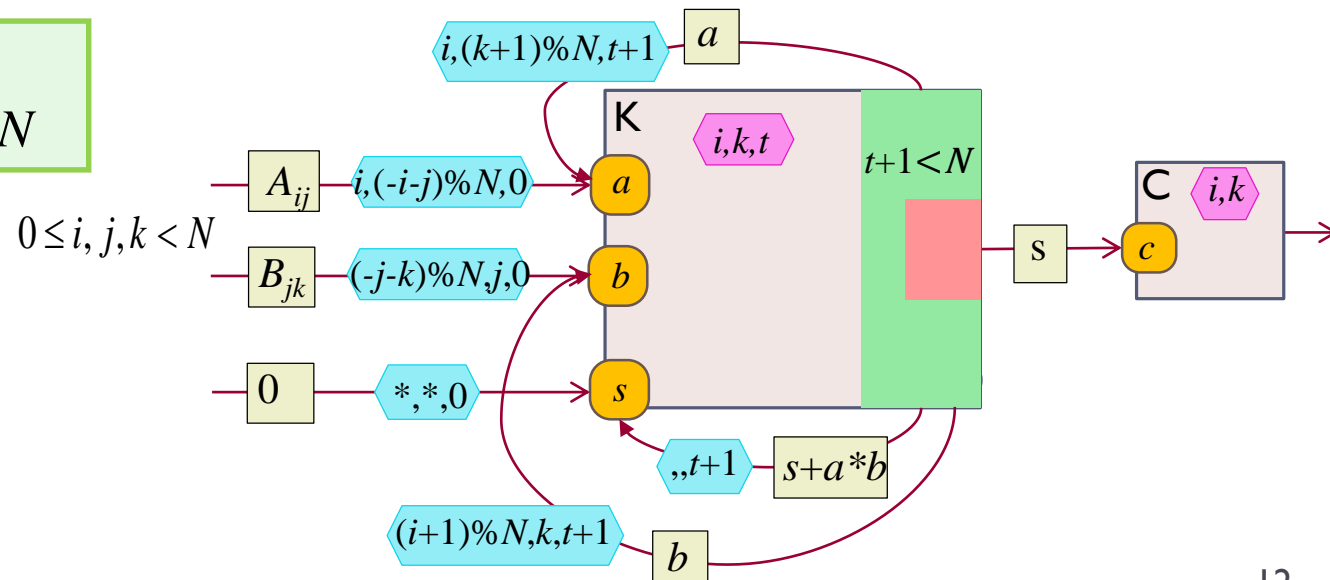
Засылка данных:

$(a_{ij}) \# N \rightarrow V.a \langle i, j, * \rangle$   
 $(b_{jk}) \# N \rightarrow V.a \langle *, j, k \rangle$

Функции распределения:

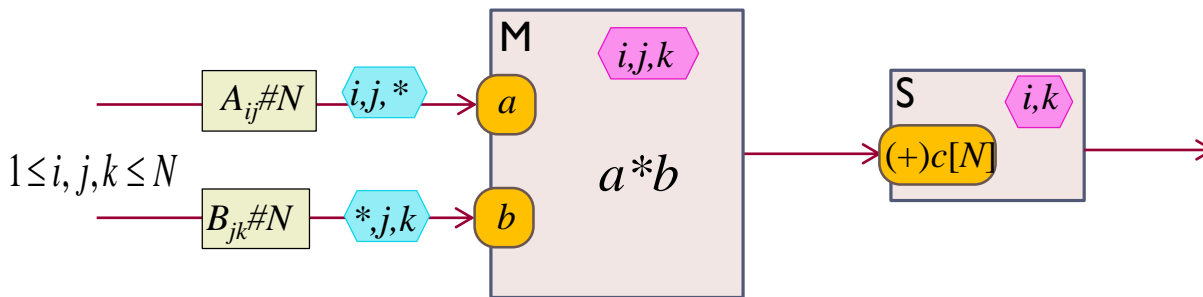
$Place = (i, k)$   
 $Stage = t = (i + j + k) \% N$

Алгоритм Кэннона:



# NxN Matrix Multiplication

Основное определение алгоритма:



Текстовая форма:

```
vconst N;
node A(float a,float b)<i,j,k> {
    a*b → S.c<i,k>;
}
node S(float reduce(+)c[N])<i,k>{
    c → ...
}
```

Засылка данных:

$(a_{ij})\#N \rightarrow V.a\langle i,j,* \rangle$   
 $(b_{jk})\#N \rightarrow V.a\langle *,j,k \rangle$

Функции распределения:

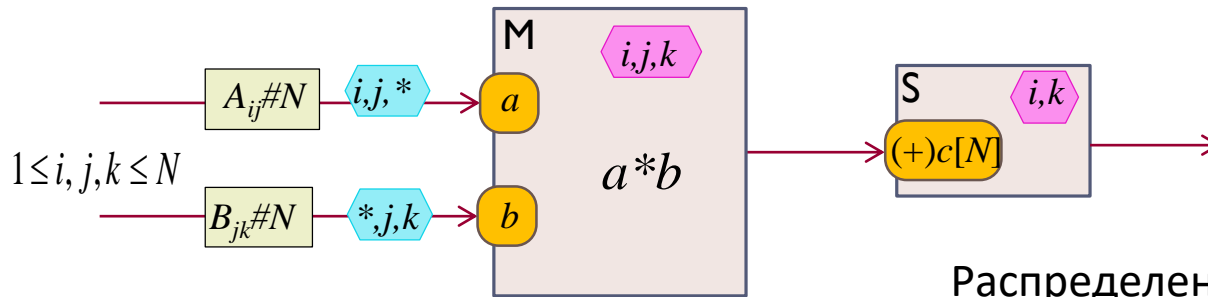
$Place = (i/m, k/m, j/m)$  для узла **M** и входа **S.c**  
 $(i/m, k/m, 0)$  для узла **S**  
 $Stage = (i\%m, k\%m, j\%m)$

Блочный распределенный вариант.

$m$  – размер 3D блока, всего  $\lceil N/m \rceil^3$  процессоров,  
 в каждом процессоре 1 блок,  
 внутри процессора обычный тройной цикл

# NxN Matrix Multiplication

Основное определение алгоритма:



Распределение «по строкам» матрицы A

Функции распределения:

$Place = i / rows$

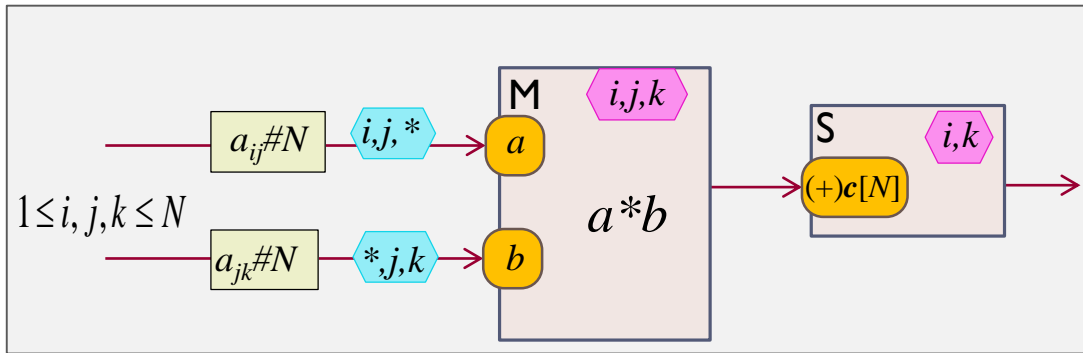
$Stage = (j / cols, //, i \% rows, j \% cols, k)$

$mSize$  – размер блока строк (столбцов),  
в каждом процессоре 1 блок

```
/* Перебор групп столбцов */
for (m = 0; m < MPI_CMCount; m++) {
    if (DFE_CMIndex == m)
        for (j = 0; j < mycols; j++)
            for (k = 0; k < mSize; k++)
                buf[k+j*mSize] = b[k][j];
/* Пересылка m-ой группы столбцов матрицы b */
if (m == MPI_CMCount-1) l = last_cols * mSize;
else l = cols * mSize;
MPI_Bcast(buf, l, MPI_DOUBLE, m, MPI_COMM_WORLD);
if (m == MPI_CMCount-1) jmax = last_cols;
else jmax = cols;
/* Вычисление своего блока матрицы */
for (i = 0; i < myrows; i++)
    for (j = 0; j < jmax; j++)
        for (k = 0; k < mSize; k++)
            c[i][m*cols+j] += a[i][k] * buf[k+j*mSize];
}
```

# Умножение матриц NxN

Графическая форма алгоритма:



Текстовая форма:

```
vconst N;
node A(float a,float b)⟨i,j,k⟩ {
    a*b → S.c⟨i,k⟩;
}
node S(
    float reduce (+) c [N] ) ⟨i,k⟩ {
    c → ...
}
```

Засылка данных:

$(a_{ij}) \#N \rightarrow V.a\langle i, j, * \rangle$   
 $(b_{jk}) \#N \rightarrow V.a\langle *, j, k \rangle$

Варианты отображений (функции распределения по пространству и времени):

$Place = (0)$   
 $Stage = (i, k, j)$

Последовательный алгоритм

$Place = (i/m, k/m, j/m)$   
 $Stage = (i \% m, k \% m, j \% m)$

Блочный распределенный алгоритм,  
 $m$  – размер блока

$Place = (i, k)$   
 $Stage = t = (i+j+k) \% N$

Алгоритм Кэннона

# Выводы

- Эффективный параллельный код = математический алгоритм + распределение по пространству/времени
- Как задавать распределения?
- В языке с индексами (тегами) – как функции от индексов.
- Можно начать с полиэдральных моделей как исходного языка программирования в парадигме раздачи, но расширить класс допустимых программ. Это и будет наш язык UPL
- Умножение матриц, задача N тел – аффинные программы.
- В метаязыке UPL выразим более широкий класс алгоритмов.
- Надо «научиться» порождать коды для разных платформ так же, как это сейчас делают для полиэдральных моделей аффинных программ.

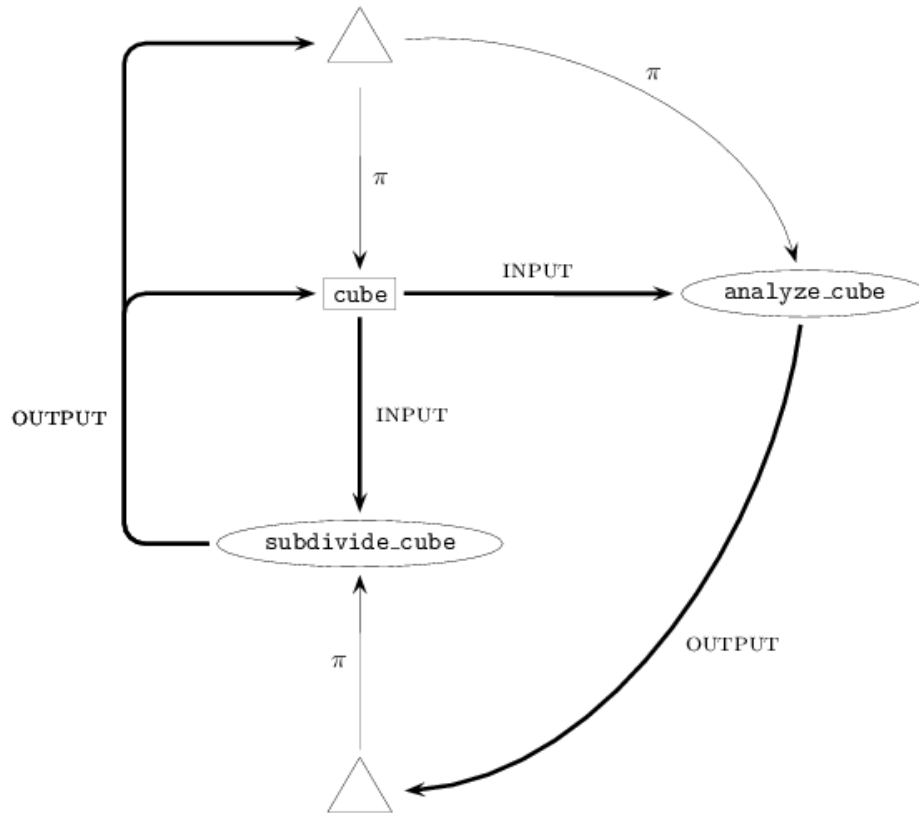


## Проблемы и перспективы.

- ▶ Чтобы обеспечить универсальность, платформо-независимость и эффективность необходимо
  - ▶ Иметь развитую систему эквивалентных преобразований, способность их применять, проверять эквивалентность
  - ▶ Уметь оценивать сложность (эффективность) вариантов отображений вычислительных схем.
  - ▶ Уметь выбирать оптимальное решение для данной платформы и данного приложения.

► *Спасибо. Вопросы?*

# Элементы Concurrent Collections (CnC)



Три типа коллекций:

Тэги (controls)

Данные (items)

Вычисления (steps)

Steps:



Запрашивают items

Создают items и controls

Controls:



Создают steps

Items:



Уведомляют запросившие  
steps о готовности

Это схема алгоритма N-body Barnes-Hut

Иллюстрация заимствована из отчета

Kathleen Knobe, Carl D. Offner, Tstreams: A model of parallel computation

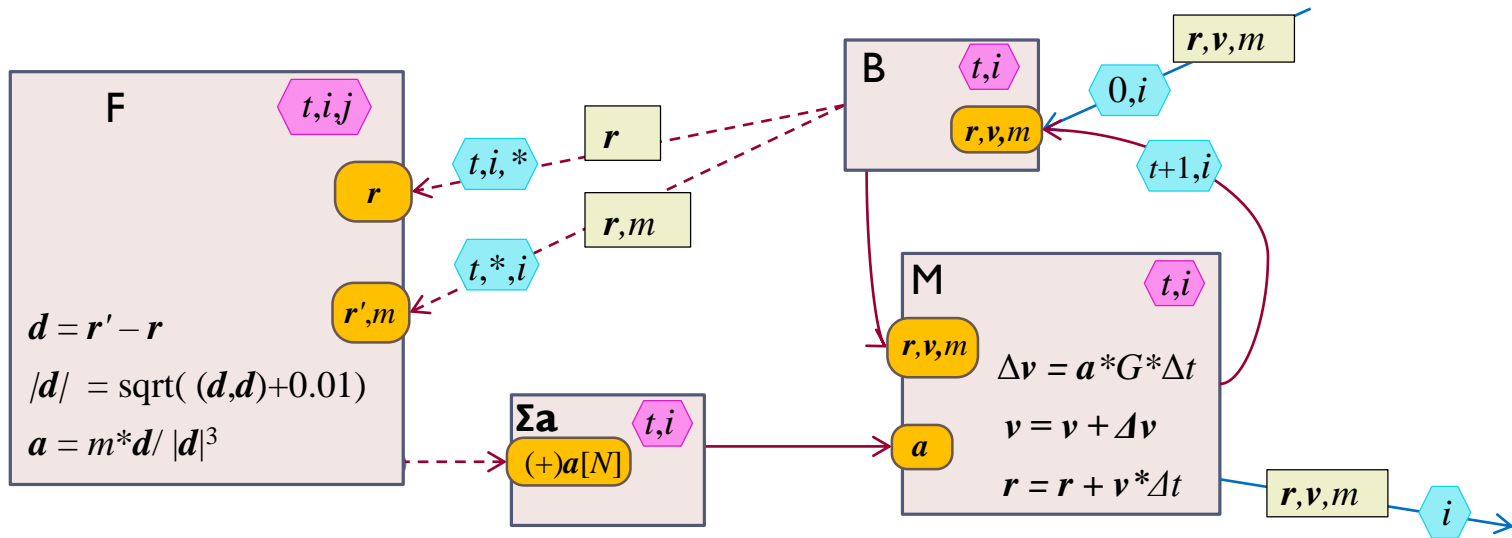
(preliminary report). Technical Report HPL, 25 July, 2005, HP Labs

на котором основана модель CnC

# Отличия UPL и CnC

	CnC	UPL
Типы коллекций	Steps, Items, Controls	Узлы = Steps
Парадигма	Сбора	Раздачи
Активация узлов (steps)	По специальной операции	По приходу всех items
Активности движутся	По дереву	По ациклическому графу
Узел (Step)	Выдает items и controls Запрашивает items	Посылает item на входы узлов
Данные (items)	Пассивны (надо запрашивать)	Активны (приходят сами на вход и активируют узел)

# All-pairs N-body problem



## Обозначения:

$(+)\mathbf{a}[N]$  – суммирующий вход,  $N$  – число слагаемых

$i, j$  – номера тел

$\mathbf{r}, \mathbf{r}'$  – координаты тел (вектор),

$\mathbf{d}$  – дистанция между телами (вектор)

$\mathbf{v}$  – скорость (вектор)

$\Delta \mathbf{v}$  – приращение скорости

$t$  – номер шага:  $0, 1, \dots, t_{max}$ ,

$\Delta t$  – шаг по времени (константа)

$N$  – количество тел (константа)

$G$  – гравитационная постоянная (константа)

## Узлы:

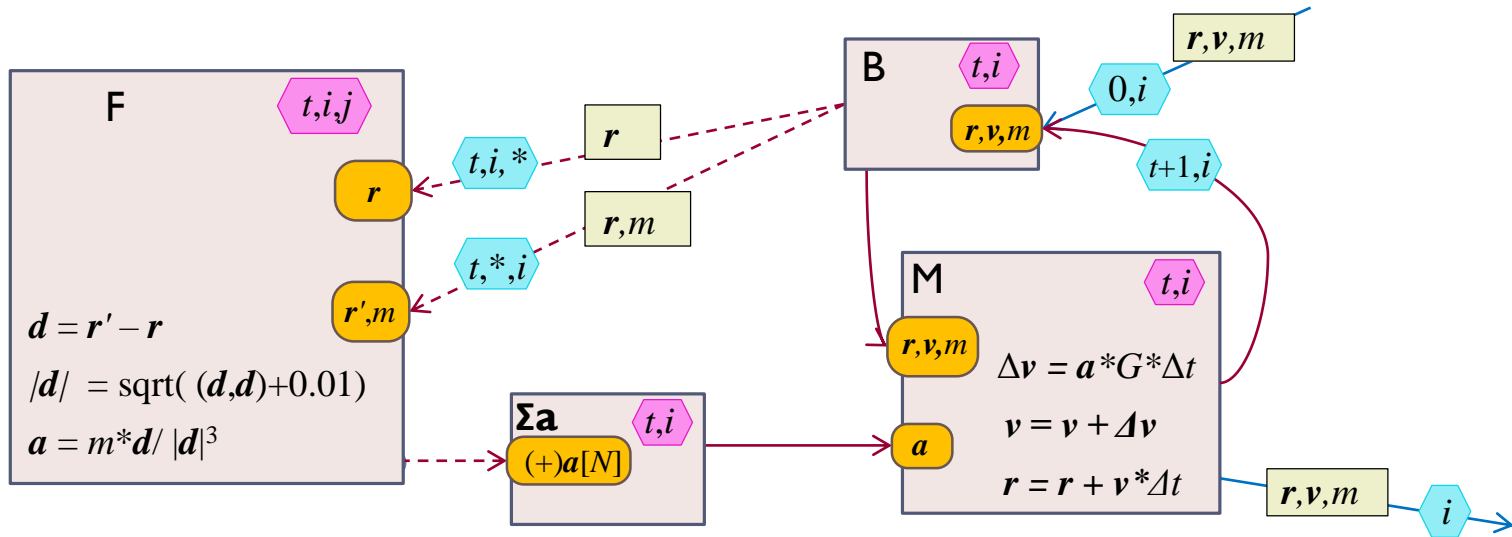
**F** – вычисляет поле в точке  $\mathbf{r}$  от другого тела в точке  $\mathbf{r}'$

**$\Sigma \mathbf{a}$**  – вычисляет суммарное поле  $\mathbf{a}$  в позиции тела  $i$

**M** – вычисляет новые координаты и скорости  $(\mathbf{r}, \mathbf{v})$  тела  $i$

**B** – передает данные о теле  $i$  на узлы **F** и **M**

# All-pairs N-body problem. Распределение вычислений

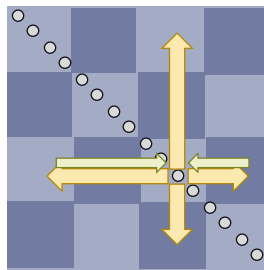
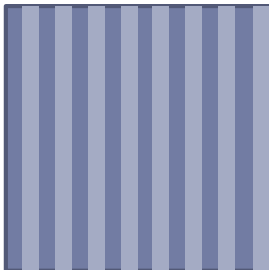


## Варианты функций распределения:

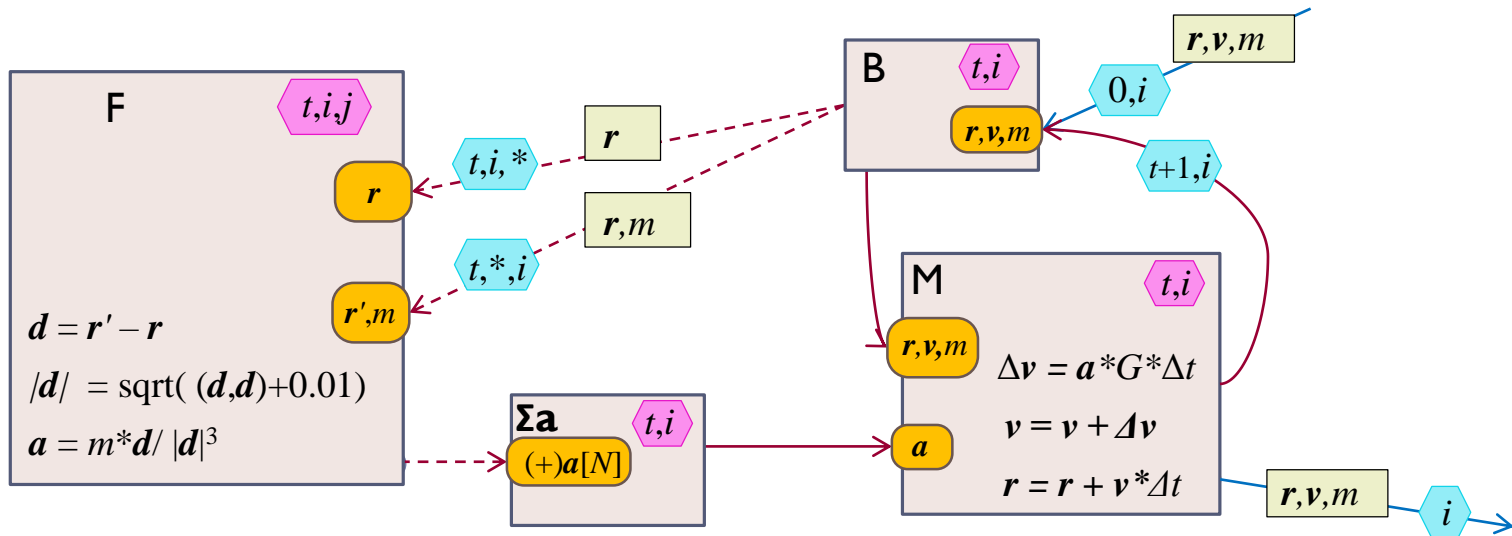
- а)  $place = i/m$       б)  $place = [i/m, j/m]$ ,  $m = \lceil N/\sqrt{P} \rceil$  для узла F,  
 $stage = t$        $[i/m, i/m]$  для остальных узлов

## Объем коммуникаций на одну итерацию:

- а)  $O(NP)$       б)  $O(N\sqrt{P})$



# All-pairs N-body problem. Распределение вычислений

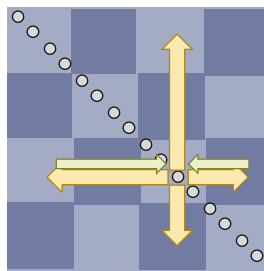
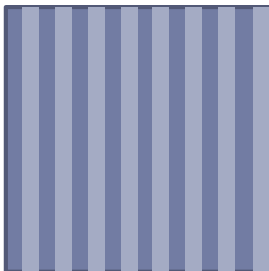


## Варианты функций распределения:

- а)  $place = i/m$                       б)  $place = [i/m, j/m]$ ,  $m = \lfloor N/\sqrt{P} \rfloor$  для узла F,  
 $stage = t$      $[i/m, i/m]$  для остальных узлов

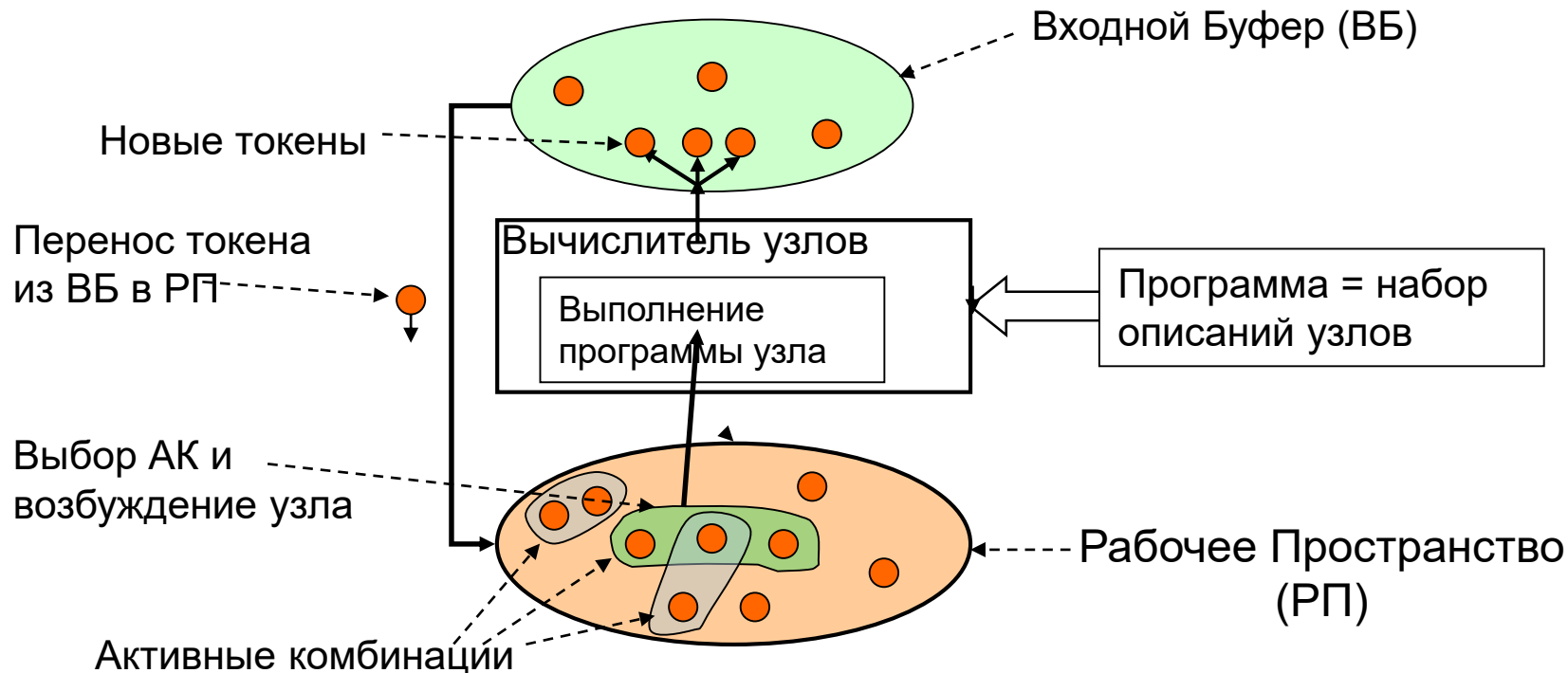
## Объем коммуникаций на одну итерацию:

- а)  $O(NP)$                       б)  $O(N\sqrt{P})$



Важное условие: каждая пара токенов встречается **ровно** в одном ядре

# Абстрактный вычислитель



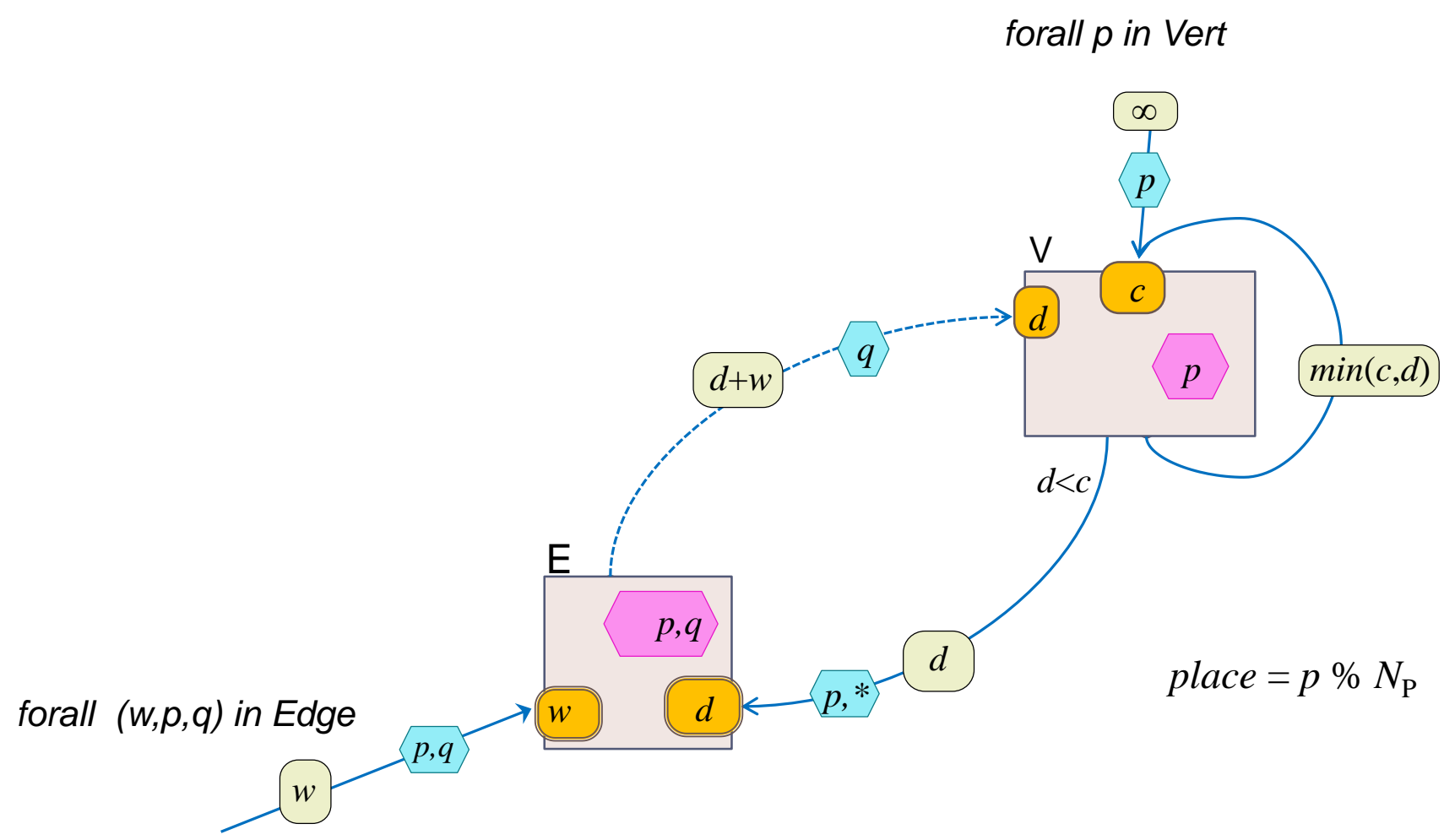
- В Рабочем Пространстве (РП) обнаруживаются активные комбинации. Некоторые из них возбуждают соответствующие им узлы. Использованные токены обычно удаляются из РП.
- Вычислитель выполняет программы возбужденных узлов, в результате чего создаются новые токены. Последние вносятся во Входной Буфер (ВБ), откуда по одному в некотором неопределенном порядке поступают в РП.



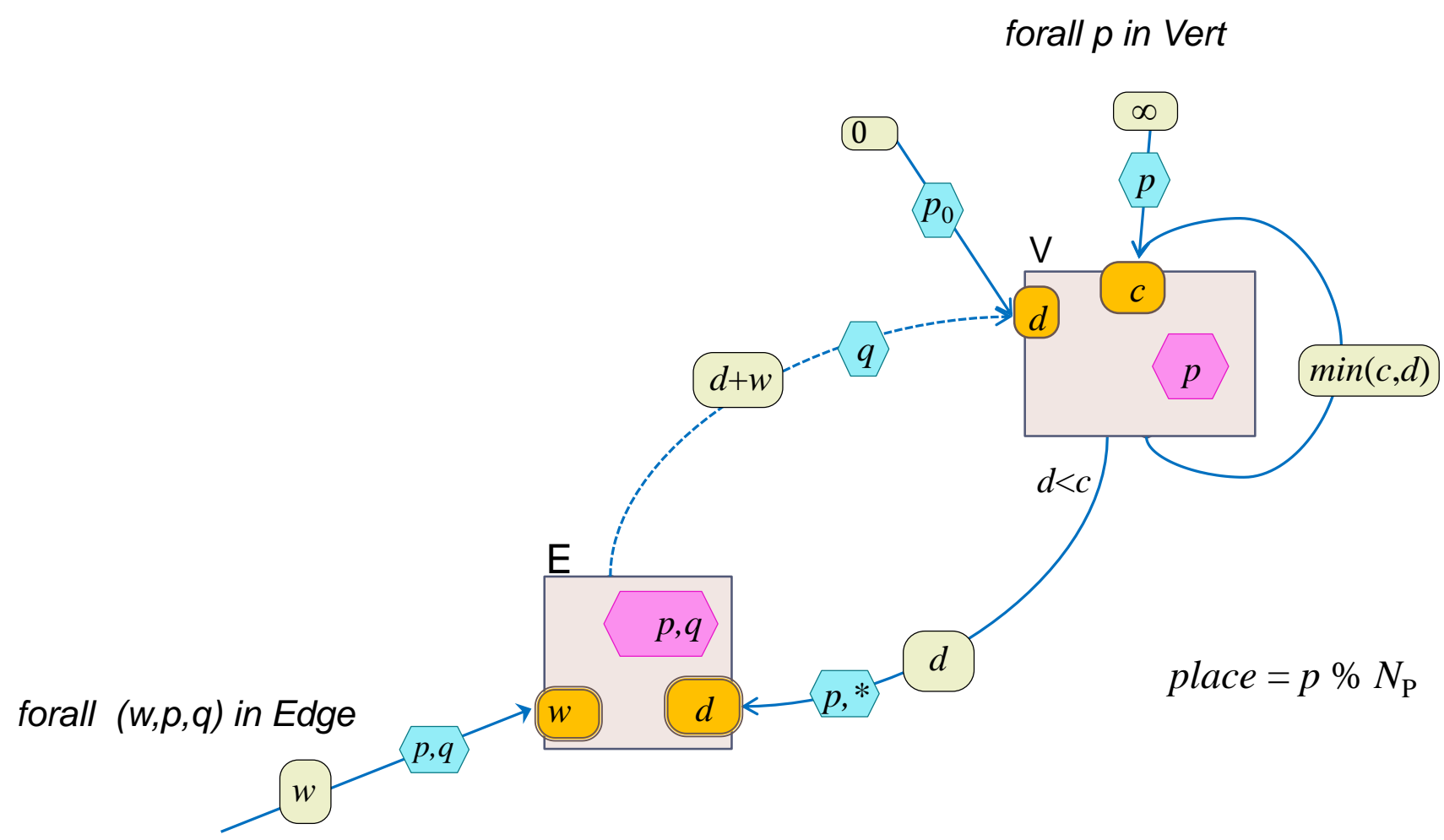
# Проблема детерминизма

- ▶ В нашей модели вычислений детерминизма нет (в отличие, скажем, от SnC, где допускаются только детерминированные программы и это проверяется статически).
- ▶ Большинство задач на практике – детерминированы
- ▶ Статическая проверка детерминизма – интересная задача
- ▶ Есть простой динамический критерий детерминизма:
  - ❑ *Будем оставлять все стираемые токены с пометкой, и следить, не образуется ли активная комбинация с участием помеченного токена. Если этого ни разу не случилось, то данное вычисление детерминировано!*

Схема алгоритма SSSP. Наивный вариант (без синхронизации)



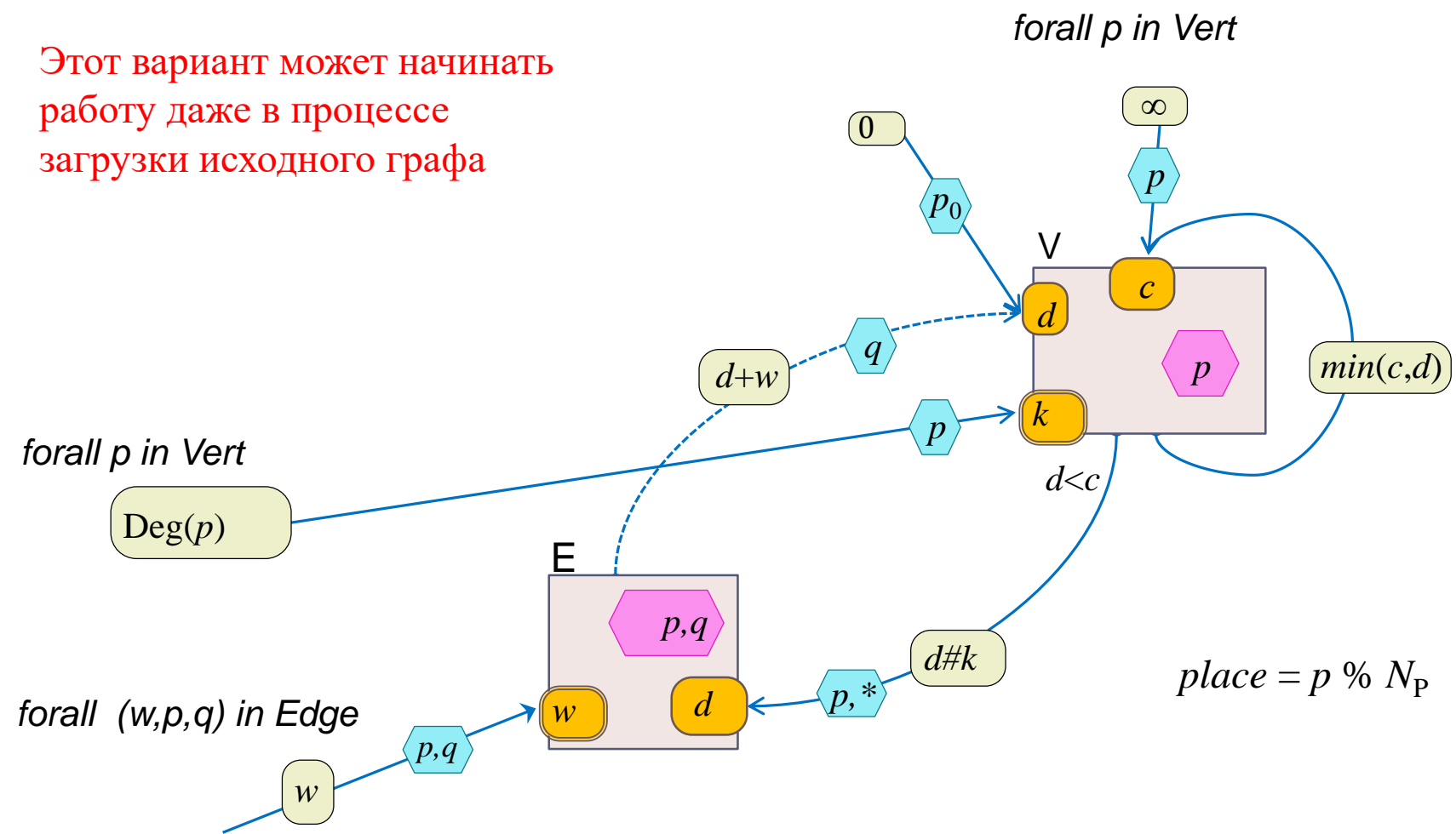
# Схема алгоритма SSSP. Наивный вариант (без синхронизации)



По завершению всякой активности кратчайшие расстояния от  $p_0$  до  $p$ , будут находиться в  $V.c\langle p \rangle$ . Возможны многократные проходы по дугам. Пунктиром обозначены передачи по дугам. Только они могут быть нелокальными. Узлы распределяются по ядрам по полю  $p$  взятием остатка от деления на число ядер  $N_P$ .

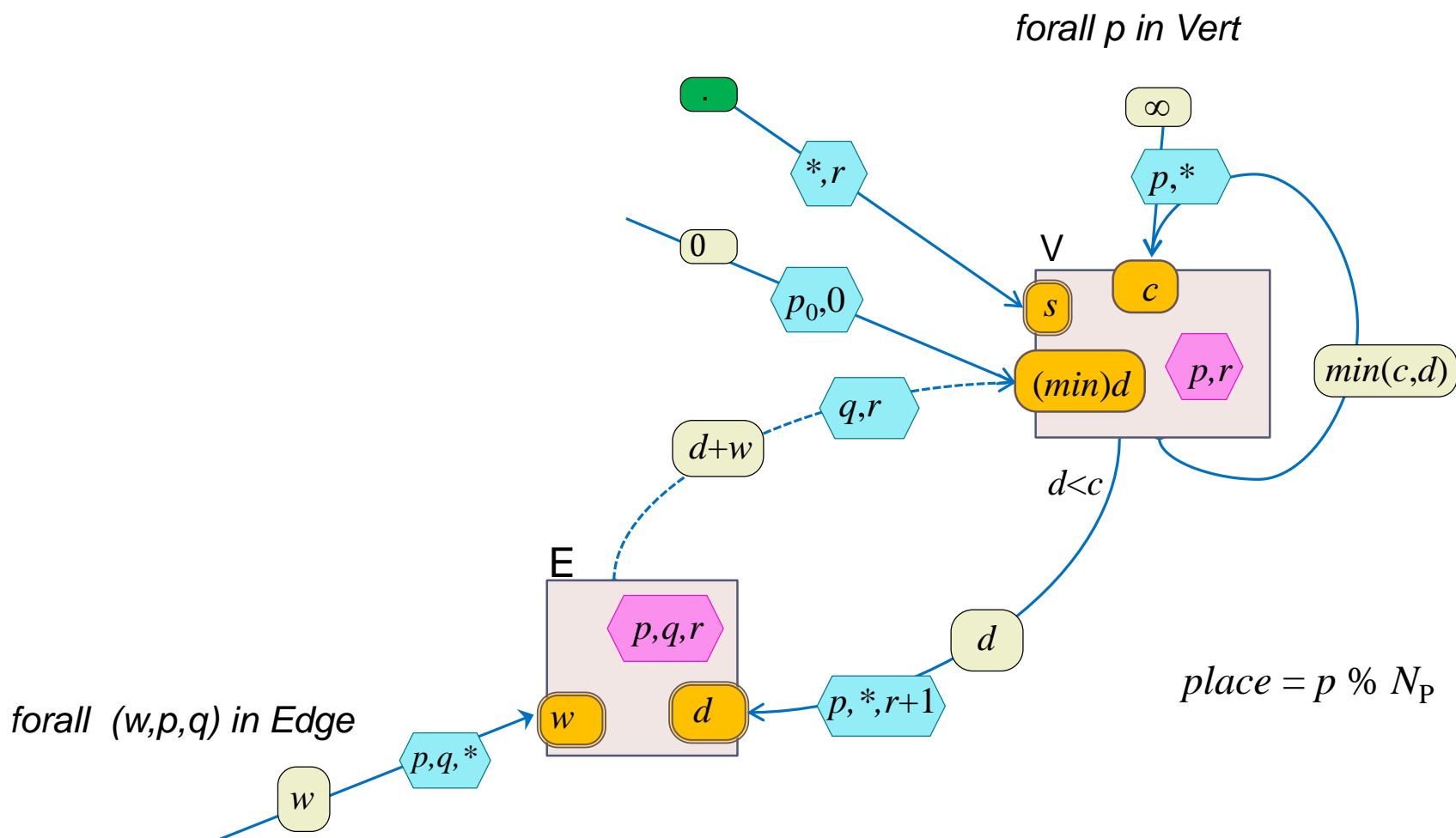
# Схема алгоритма SSSP. Наивный вариант (без синхронизации)

Этот вариант может начинать работу даже в процессе загрузки исходного графа



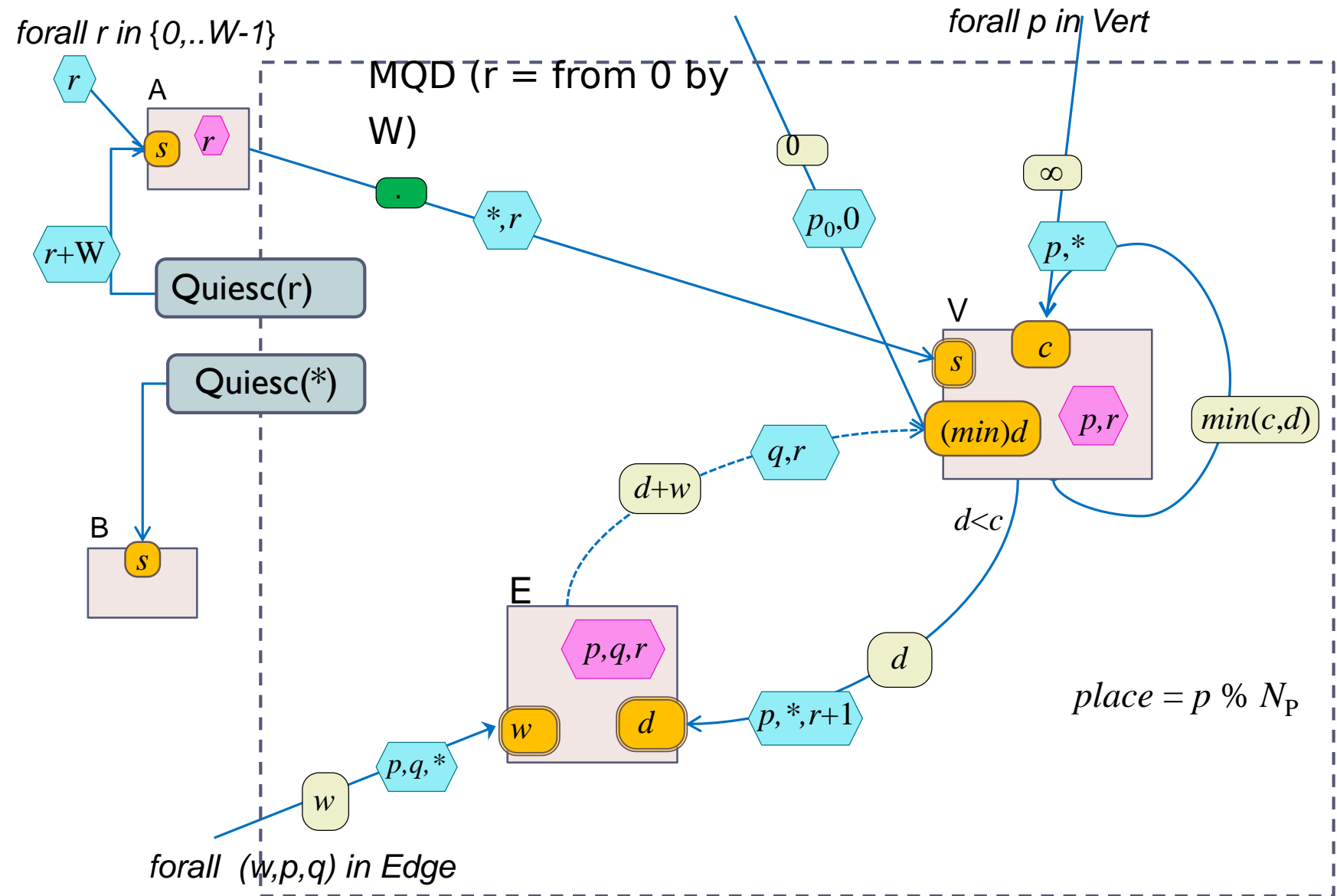
По завершению всякой активности кратчайшие расстояния от  $p_0$  до  $p$ , будут находиться в  $V.c \langle p \rangle$ . Возможны многократные проходы по дугам. Пунктиром обозначены передачи по дугам. Только они могут быть нелокальными. Узлы распределяются по ядрам по полю  $p$  взятием остатка от деления на число ядер  $N_P$ .

## Схема SSSP с внешней синхронизацией по уровням BFS.

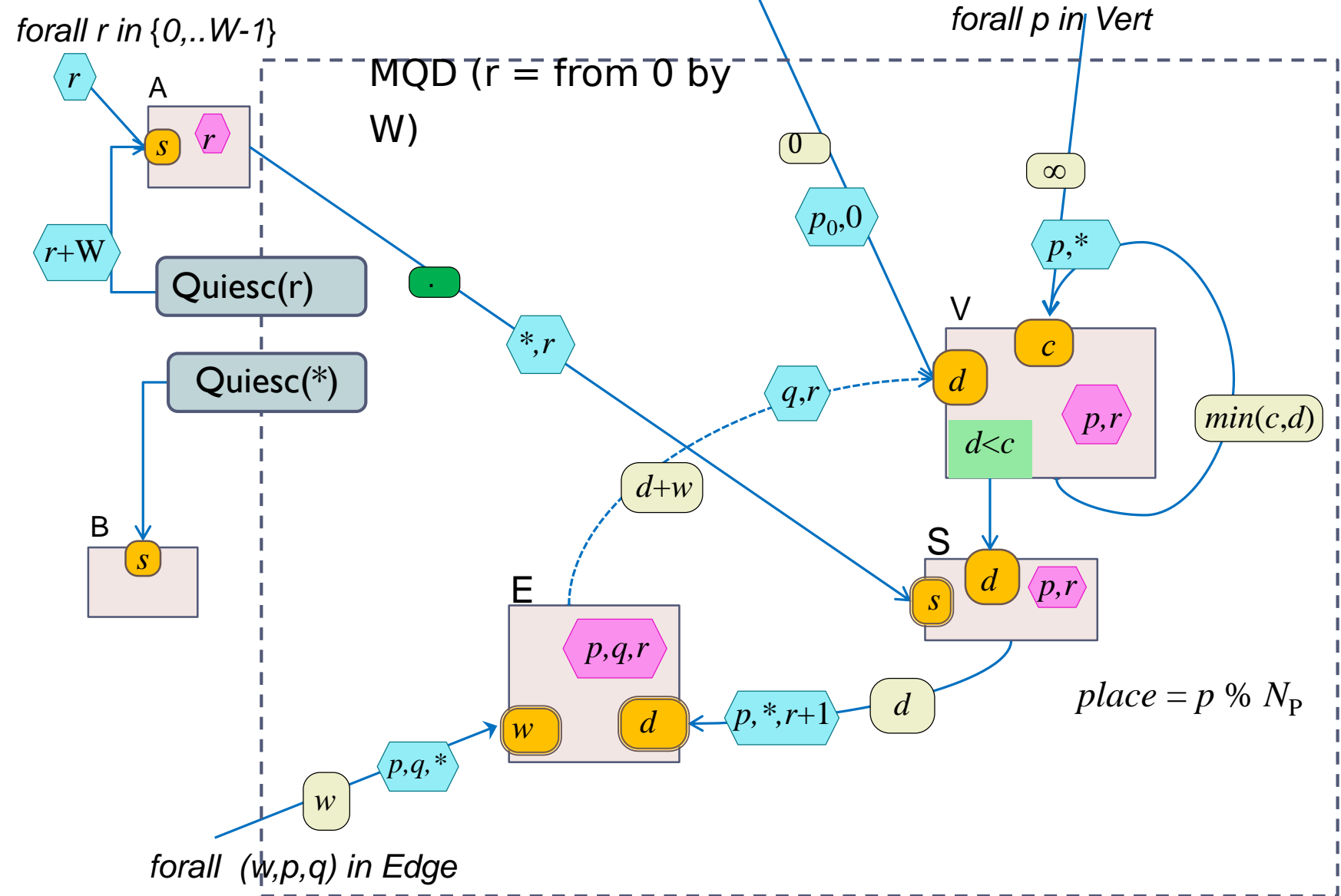


Окружение реализует *многоуровневый детектор тишины*, который порождает токен  $() \rightarrow V.s\{r+w, *\}$ , когда на уровне  $r$  фиксируется завершение активности ( $w$  – ширина окна активности). В начале работы создаются  $w$  таких токенов для  $r=0, 1, \dots, w-1$ . Для стандартного варианта  $w=1$ . На входе  $V.d$  выполняется редукция через *min*.

# Алгоритм SSSP с синхронизацией по уровням BFS с MQD



# Алгоритм SSSP с синхронизацией по уровням BFS с MQD



МРТ: многоуровневый распознаватель тишины (MQD: multilevel quiescence detector)

Глобальная синхронизация осуществляется посредством механизма распознавания тишины (quiescence detection), который встроен в исполняющую систему. Метод реализации – распределенные счетчики.

Простой распознаватель тишины основан на локальном подсчете токенов, посланных и принятых во всех ядрах, и глобальном суммировании этих счетчиков. Нулевая сумма является признаком тишины, то есть завершения всех активных действий.

Наше решение задачи SSSD использует многоуровневый детектор тишины. В нем подсчет ведется раздельно по всем значениям выделенного поля  $r$ . (Предполагается, что активность для  $r_1$  может породить только активность для  $r_2 \geq r_1$ ).

Токены с  $r=*$  учитываются особо: их сумма виртуально прибавляется ко всем счетчикам, так что пока она не нуль, ни одна сумма для конкретного  $r$  не может быть расценена как нулевая.

МРТ глобально определяет минимальное значение  $r_m$ , в котором имеются зародыши активности, и активизирует их заданным образом (у нас это посылка  $\#^\infty \rightarrow S.s\{r_m, *\}$ ), или сообщает, что ненулевых  $r$  больше нет.

Возможна активизация сразу для  $W$  последовательных значений  $r$ , начиная с  $r_m$ :  $r_m, r_m+1, \dots, r_m+W-1$  (избегая повторных и бесполезных активаций). SSSD допускает использование любого  $W>0$ .

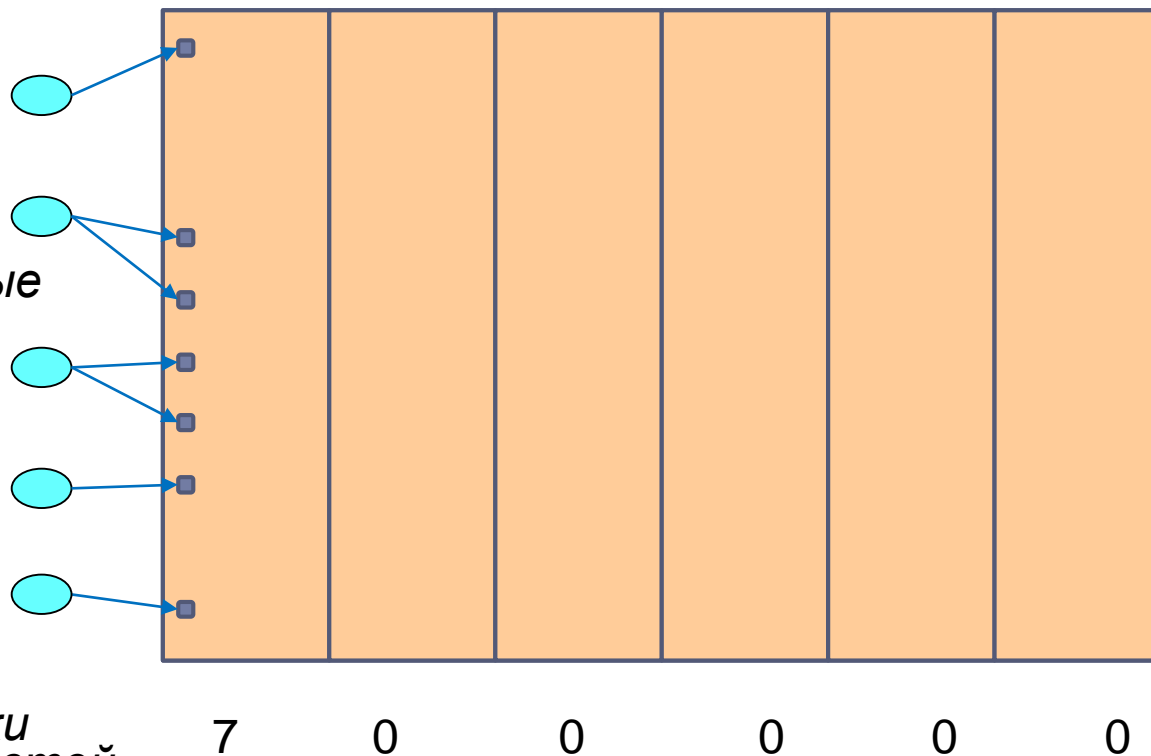


# Ход вычисления под управлением МРТ

Активирующ  
ие токены

Исходные  
данные

Счетчики  
активностей



# Ход вычисления под управлением МРТ

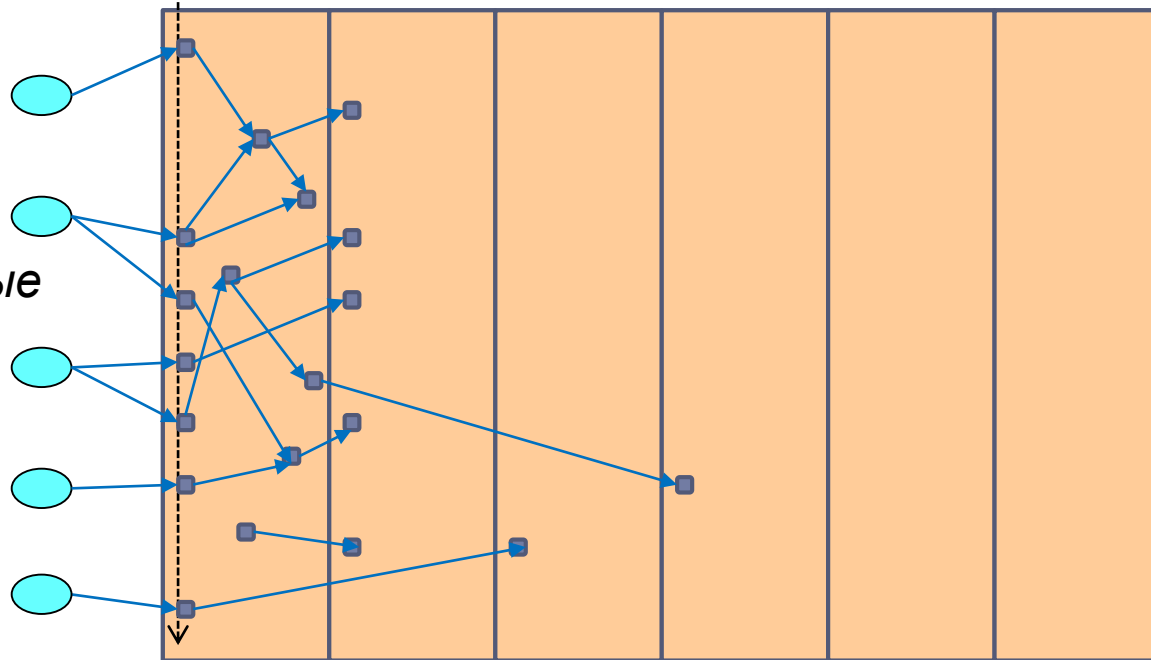
Активирующ  
ие токены

A

{0}

Исходные  
данные

Счетчики  
активностей



# Ход вычисления под управлением МРТ

Активирующ  
ие токены

A

A

{0}

{1}

Исходные  
данные

Счетчики  
активностей

0

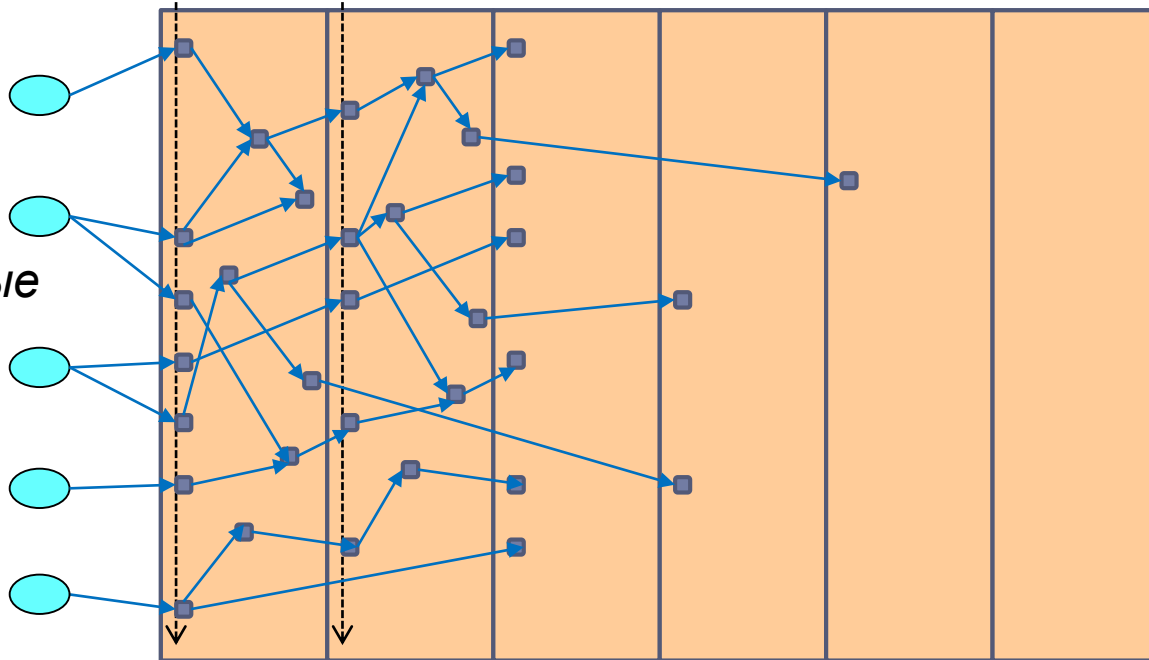
0

6

2

1

0



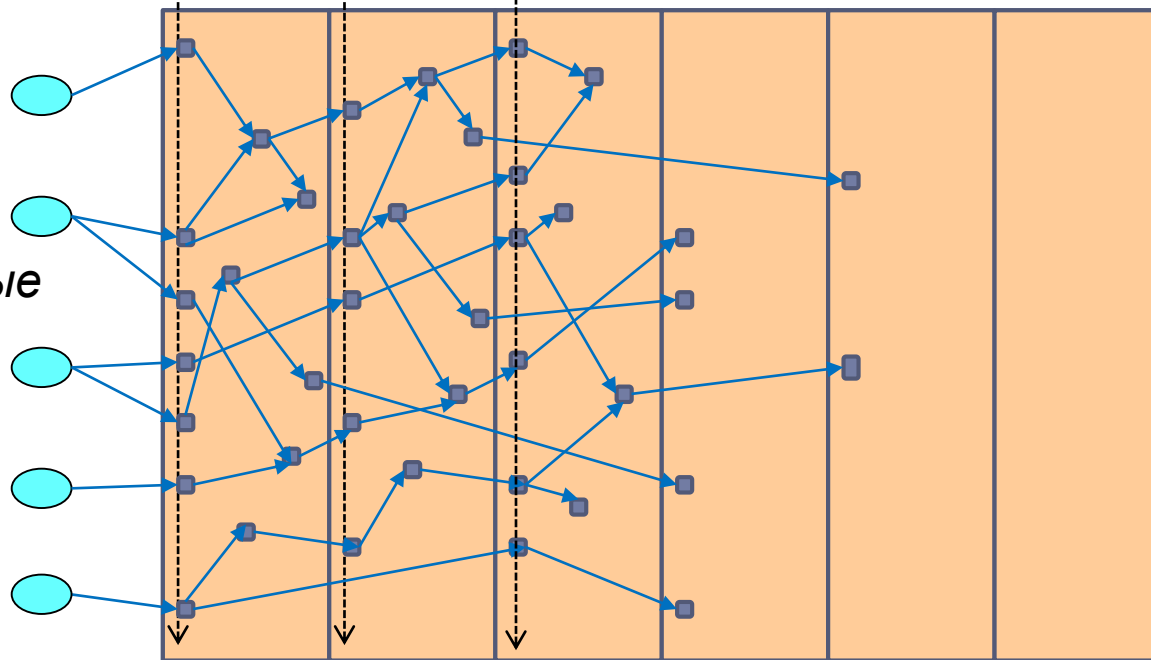
# Ход вычисления под управлением МРТ

Активирующ  
ие токены

A {0} A {1} A {2}

Исходные  
данные

Счетчики  
активностей



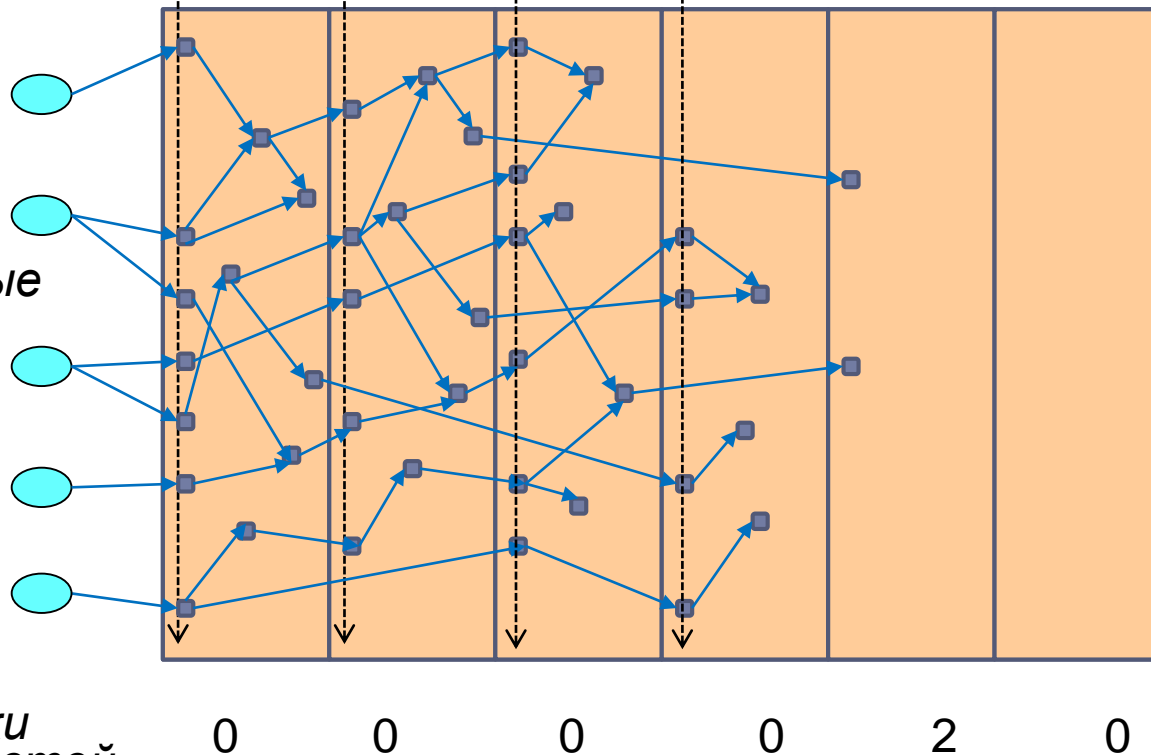
# Ход вычисления под управлением МРТ

Активирующ  
ие токены

A {0} A {1} A {2} A {3}

Исходные  
данные

Счетчики  
активностей



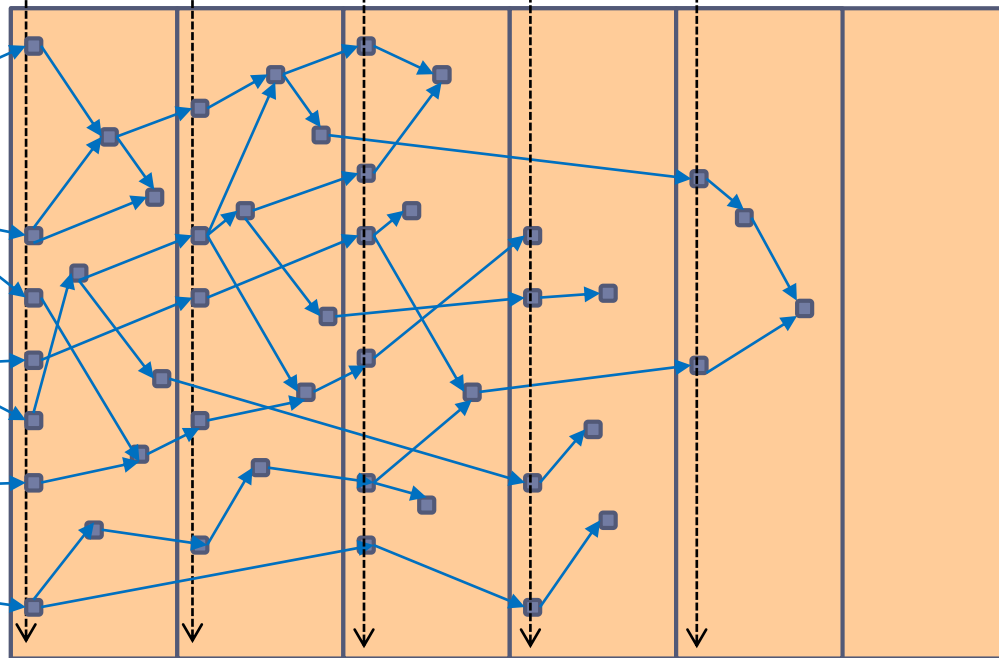
# Ход вычисления под управлением МРТ

Активирующ  
ие токены

{0} {1} {2} {3} {4}

Исходные  
данные

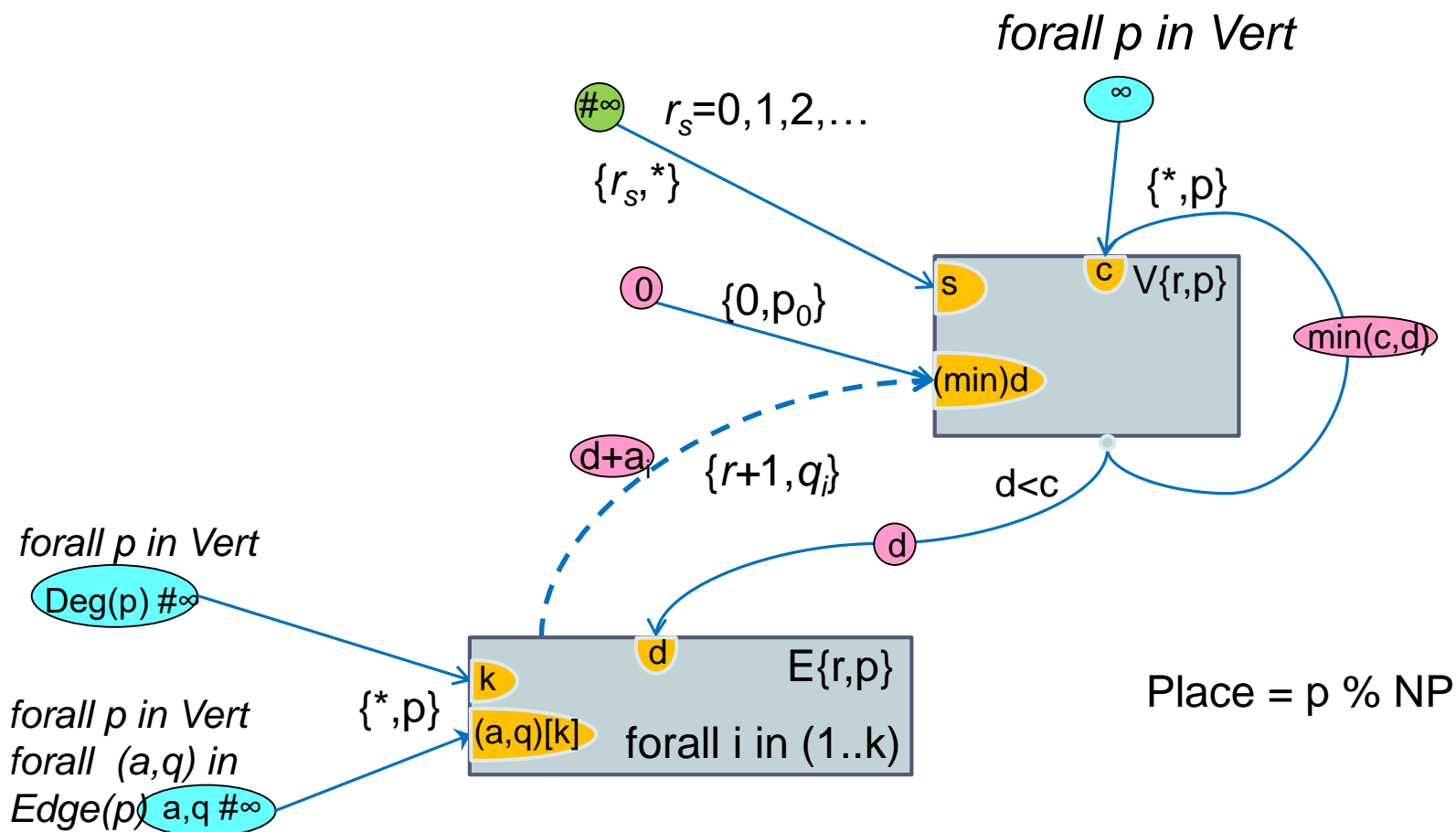
Счетчики  
активностей



КОНЕЦ!

# Схема алгоритма.

Базовый вариант с синхронизацией по уровням BFS.

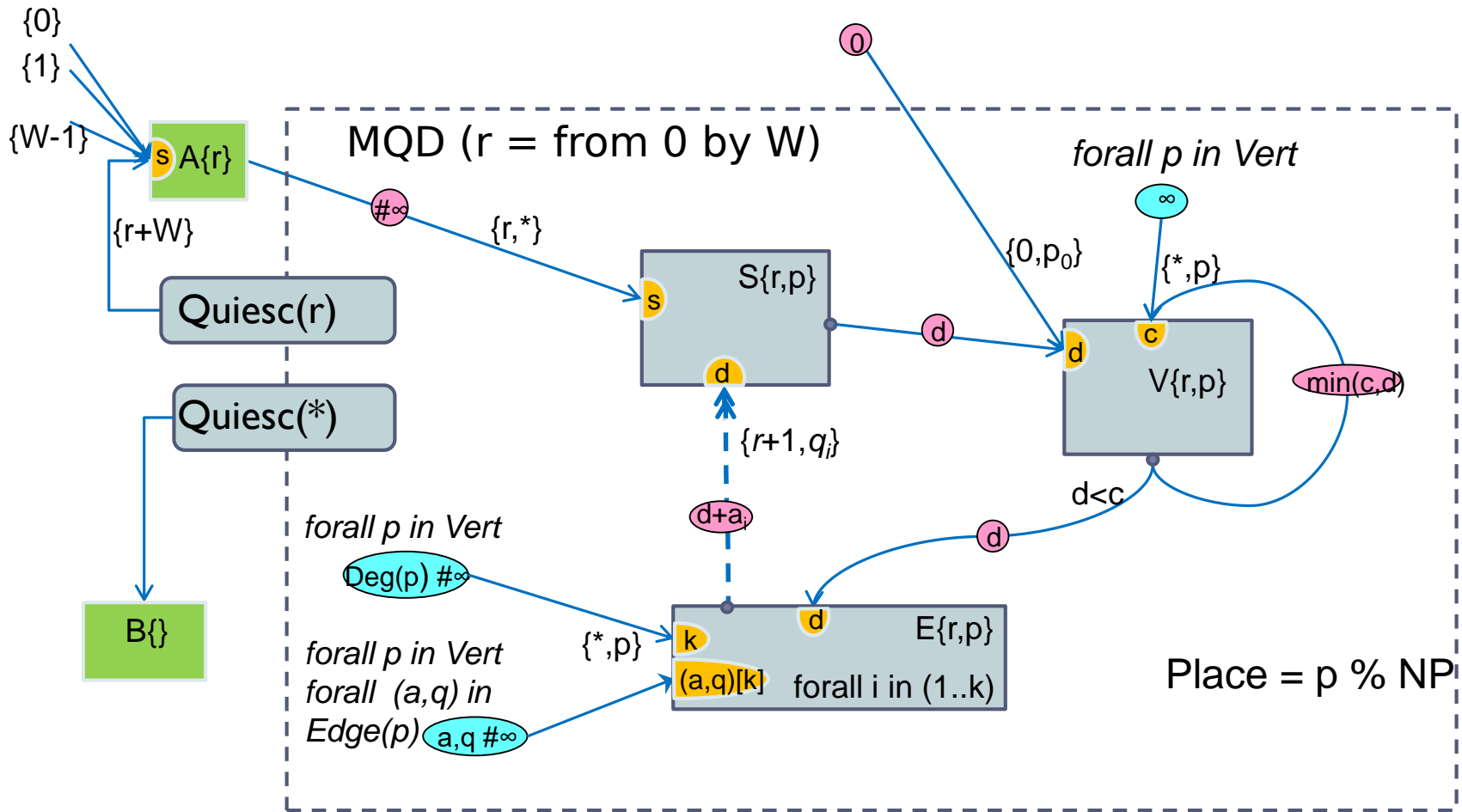


Окружение реализует *многоуровневый детектор тишины*, который порождает токен  $() \rightarrow V.s\{r+w, *\}$ , когда на уровне  $r$  фиксируется завершение активности ( $w$  – ширина окна активности).

В начале работы создаются  $w$  таких токенов для  $r=0, 1, \dots, w-1$ . Для стандартного варианта  $w=1$ .

На входе  $V.d$  выполняется редукция через *min*.

# Схема алгоритма. Синхронизация по уровням BFS. Вариант с MPT.



Многоуровневый детектор тишины активирует узел  $A\{r\}$ , когда на уровне  $r$  фиксируется завершение активности ( $w$  – ширина окна активности). Для стандартного варианта  $w=1$ . В начале работы активируются первые  $w$  таких узлов для  $r=0, 1, \dots, w-1$ . По полной тишине (во всех уровнях) активируется узел  $B\{\}$ .



# Программа на PolyDFL

Исходные данные и инициализация:

$k \rightarrow E.k\{^*,p\}$	– для всех вершин $p$ , из которых выходит $k$ дуг
$(a,q) \rightarrow E.e\{^*,p\};$	– для всех дуг веса $a$ из вершины $p$ в вершину $q$
$MAXREAL \rightarrow V.c\{^*,p\};$	– для всех вершин $p$ (признак недостижимости)
$0 \rightarrow V.d\{p_0\};$	– для начальной вершины $p_0$

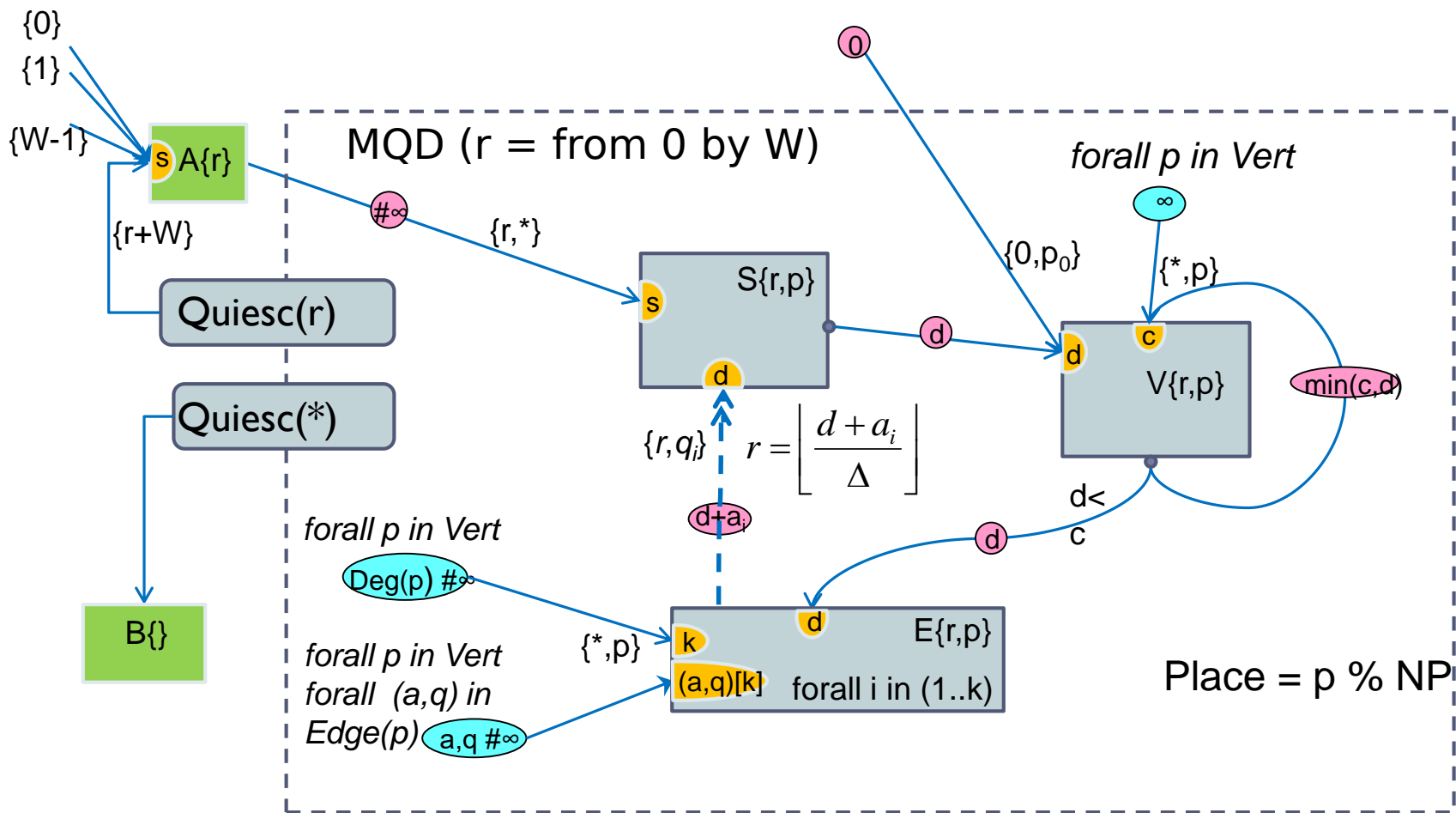
Описания узлов на PolyDFL:

```
varconst Δ:real; W:int;
MQD SSSD (r; W; () → V.s ⟨r,*⟩; () → B⟨⟩);
  node S(sav void s, float (min) d) ⟨r,p⟩;
    d → V.d⟨r,p⟩;
  node V(float d, float c) ⟨r,p⟩;
    min(d,c) → V.c⟨*,p⟩;
    if (d<c)
      d → E.d⟨r,p⟩;
  node E(sav e(float a, int q)[k], sav int k, float d) ⟨r,p⟩;
    for i :=1 to k do
      let v := d+a[i] in
        v → S.d ⟨ r+1, q[i] ⟩;
End MQD
```

Активация процесса под контролем многоуровневой тишины (MQD) внутри некоторого узла:

```
startMQD SSSD
  for p in G.Nodes
    p.degree → E.k⟨*,p⟩;
    for e in p.Nbrs
      (e.wei,e.nei) → E.e⟨*,p⟩;
      +Inf → V.c⟨*,p⟩;
    0.0 → V.d⟨0,p0⟩;
```

# Схема алгоритма. Вариант с МРТ с синхронизацией по $\Delta$ -кольцам.



Многоуровневый детектор тишины активирует узел  $A\{r\}$ , когда на уровне  $r$  фиксируется завершение активности ( $w$  – ширина окна активности). Для стандартного варианта  $w=1$ . В начале работы активируются первые  $w$  таких узлов для  $r=0, 1, \dots, w-1$ . По полной тишине (во всех уровнях) активируется узел  $B\{r\}$ .

# Программа на PolyDFL

Исходные данные и инициализация:

$k \rightarrow E.k\{*,p\}$	– для всех вершин $p$ , из которых выходит $k$ дуг
$(a,q) \rightarrow E.e\{*,p\};$	– для всех дуг веса $a$ из вершины $p$ в вершину $q$
$MAXREAL \rightarrow V.c\{*,p\};$	– для всех вершин $p$ (признак недостижимости)
$0 \rightarrow V.d\{p_0\};$	– для начальной вершины $p_0$

Описания узлов на PolyDFL:

```
varconst Δ:real; W:int;
MQD SSSD (r; W; () → V.s ⟨r,*⟩; () → B⟨⟩);
  node S(sav void s, float (min) d) ⟨r,p⟩;
    d → V.d⟨r,p⟩;
  node V(float d, float c) ⟨r,p⟩;
    min(d,c) → V.c⟨*,p⟩;
    if (d<c)
      d → E.d⟨r,p⟩;
  node E(sav e(float a, int q)[k], sav int k, float d) ⟨r,p⟩;
    for i :=1 to k do
      let v := d+a[i] in
        v → S.d ⟨ trunc(v/Δ), q[i] ⟩;
End MQD
```

Внутри некоторого узла:

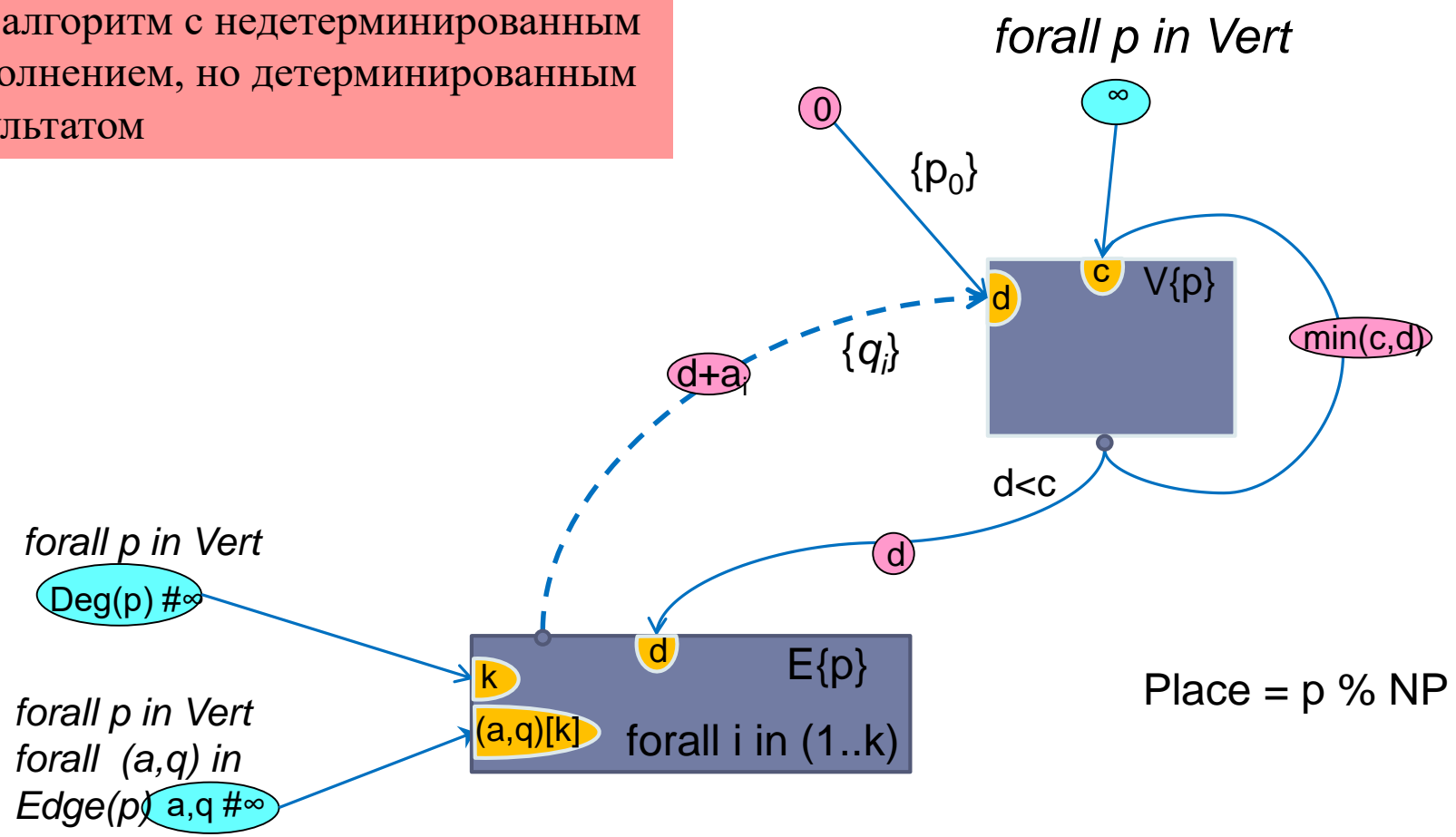
```
startMQD SSSD
  for p in G.Nodes
    p.degree → E.k⟨*,p⟩;
    for e in p.Nbrs
      (e.wei,e.nei) → E.e⟨*,p⟩;
      +Inf → V.c⟨*,p⟩;
    0.0 → V.d⟨0,p0⟩;
```

# Резюме по МРТ

- ▶ Для глобальной синхронизации имеется мощный аппарат распознавания тишины, избавляющий программиста от проблем.
- ▶ Аппарат распознавания многоуровневой тишины с окном ширины  $W$  удобен для организации глобального упорядочения.
- ▶ Варьируя размер шага  $h$  и ширину окна  $W$ , можно находить оптимальное решение, балансируя объем лишней работы и параллелизм.
- ▶ Нами реализован эмулятор, для которого программа кодируется в С. Пока в нем имеется только простой распознаватель тишины. Используя его в цикле, мы имитируем многоуровневый с окном  $W=1$ .

# Схема алгоритма SSSP. Наивный вариант (без синхронизации)

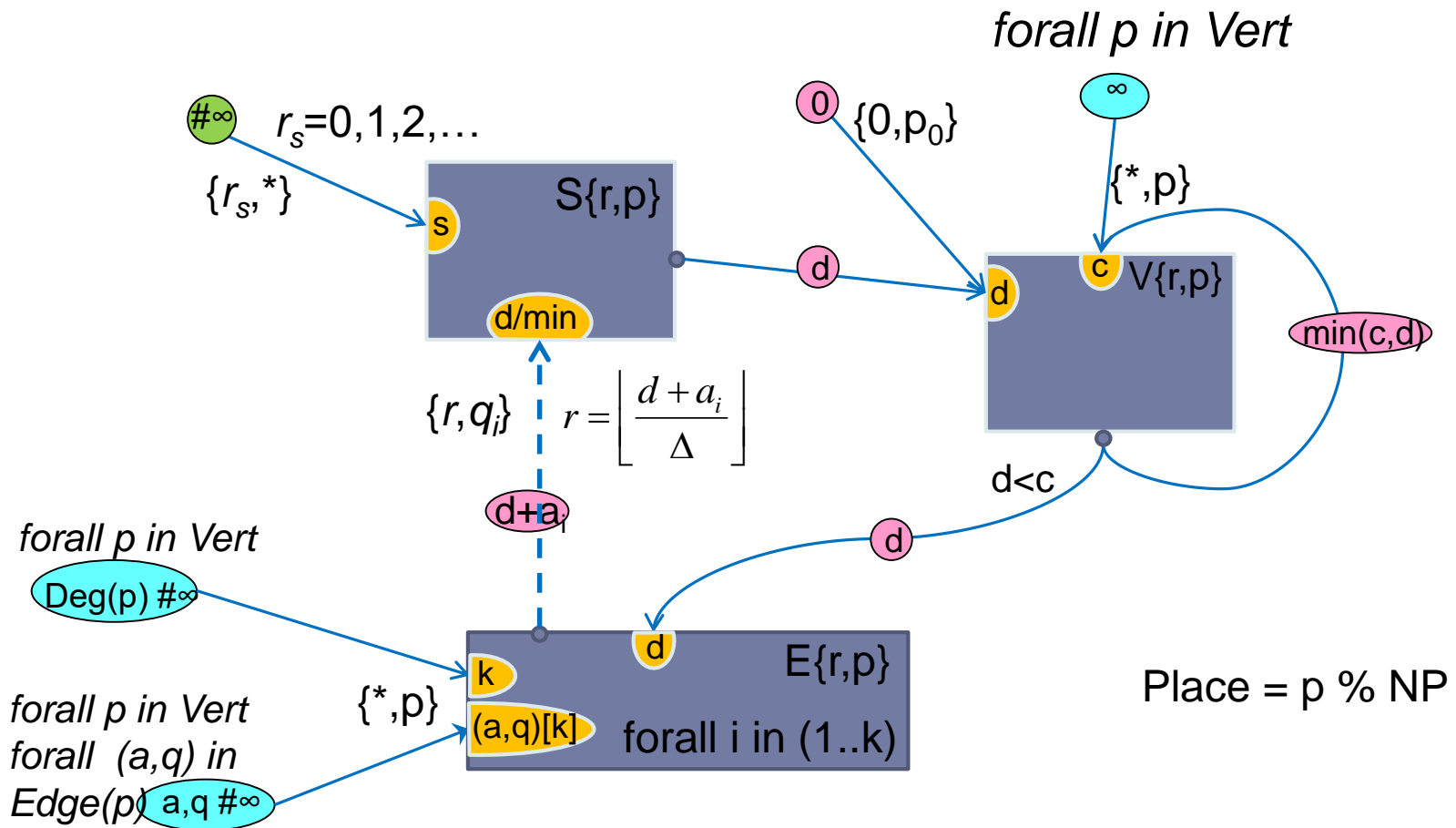
Это алгоритм с недетерминированным выполнением, но детерминированным результатом



По завершению всякой активности кратчайшие расстояния от  $p_0$  до  $p$ , будут находиться в  $V.c\{p\}$ . Возможны многократные проходы по дугам. Пунктиром обозначены передачи по дугам. Только они могут быть нелокальными. Узлы распределяются по ядрам по полю  $p$  взятием остатка от деления на число ядер NP.

# Схема алгоритма SSSP.

## Базовый вариант с синхронизацией по $\Delta$ -кольцам

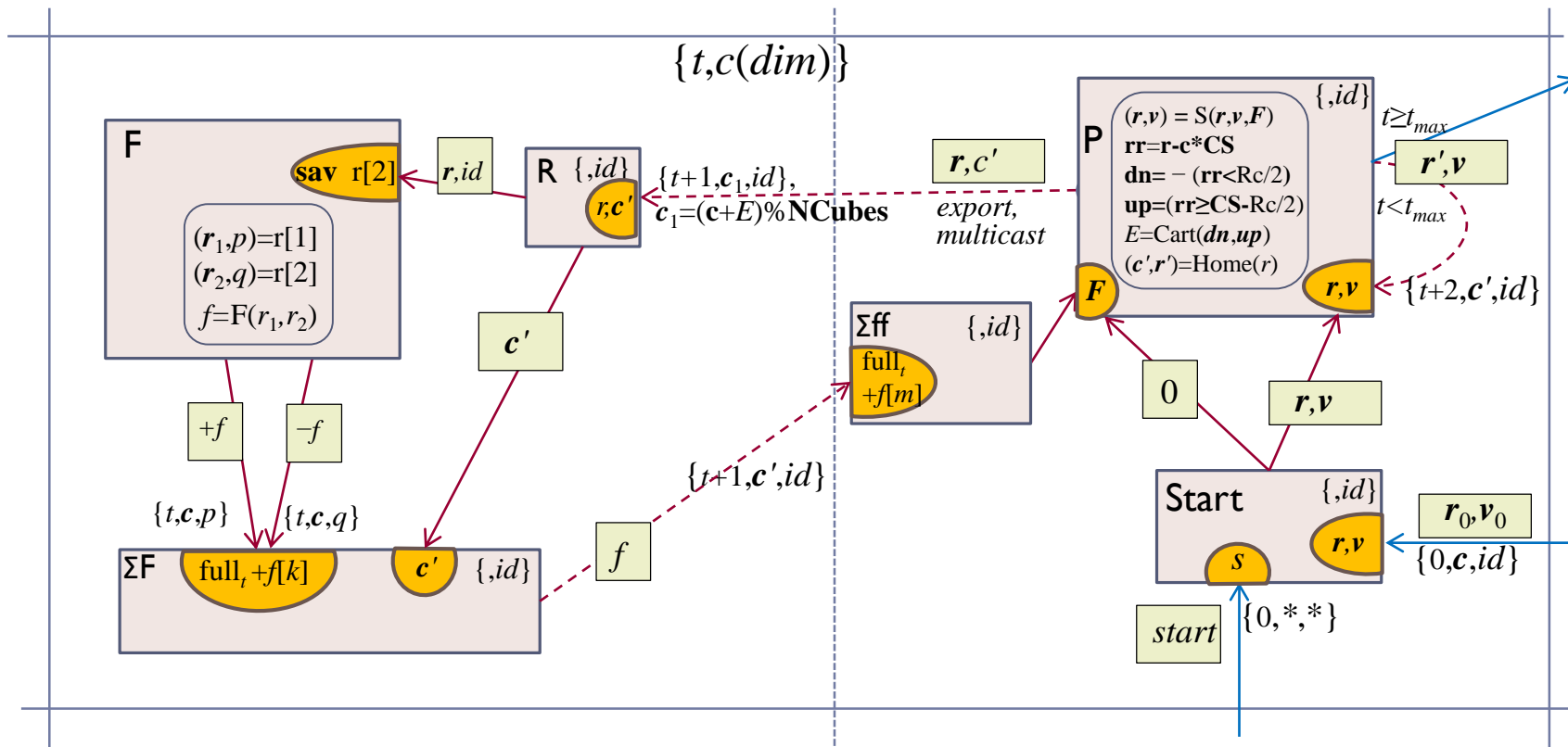


Окружение реализует *многоуровневый детектор тишины*, который порождает токен  $() \rightarrow V.s\{r+w, *\}$ , когда на уровне  $r$  фиксируется завершение активности ( $w$  – ширина окна активности).

В начале работы создаются  $w$  таких токенов для  $r=0, 1, \dots, w-1$ . Для стандартного варианта  $w=1$ .

На входе  $V.d$  выполняется редукция через  $\min$ .

# АСИНХРОННАЯ МОЛЕКУЛЯРНАЯ ДИНАМИКА ПОТОКОВЫЙ АЛГОРИТМ ОРГАНИЗАЦИИ ВЗАИМОДЕЙСТВИЙ



## Обозначения:

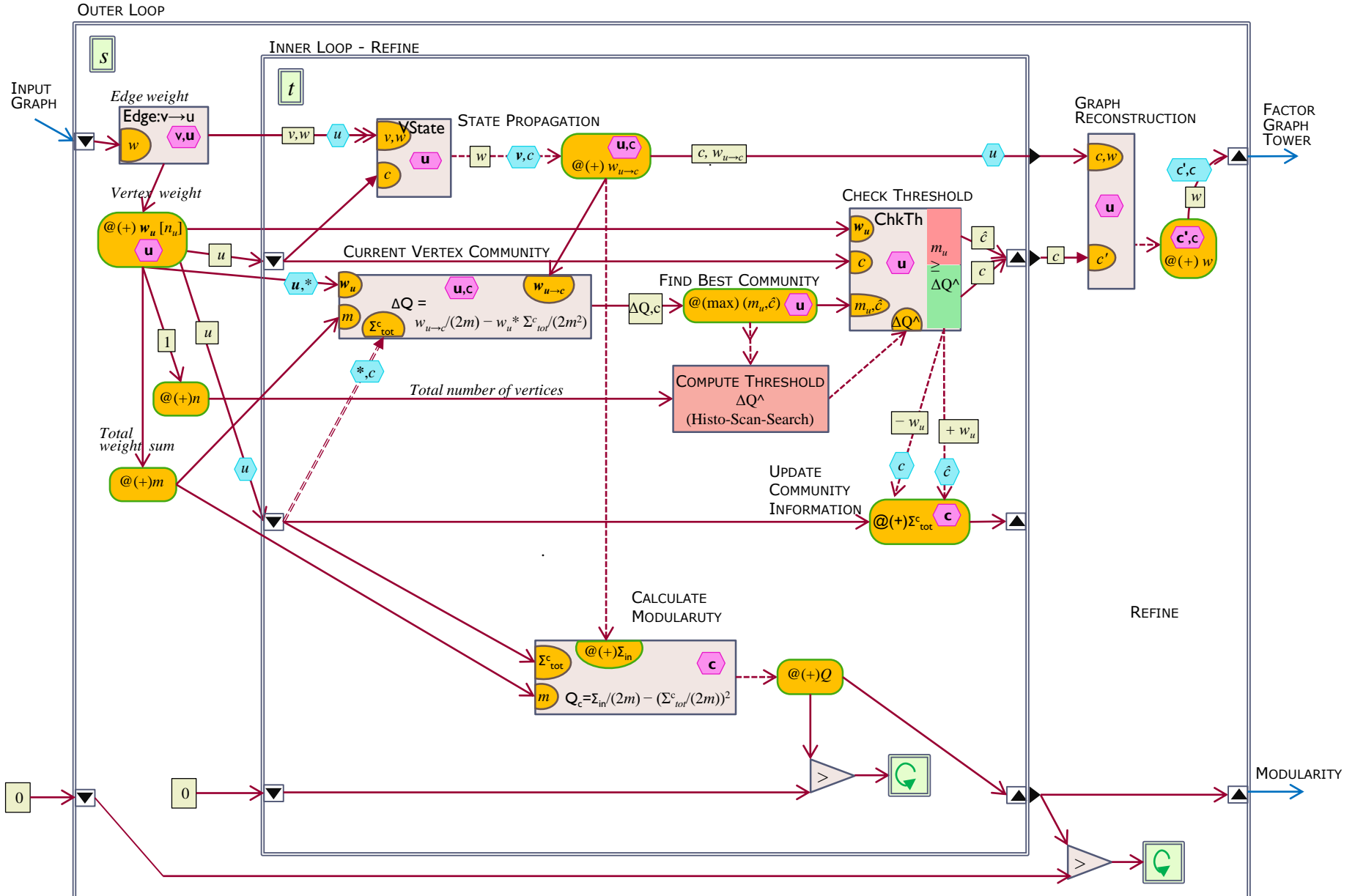
$+n[m]$  – суммирующий вход, **full<sub>t</sub>** - число слагаемых заранее не известно и определяется условием, что должны пройти все (например, по тишине).  
Здесь индекс  $t$  – номер раунда определения тишины.  
 $c'$  – координаты кубоида, в котором будет главная копия частицы (home)  
 $dn(up)$  – вектор из компонент -1 или 0 (соответственно, 0 или 1) – нижние (верхние) границы 3D-интервала направлений экспорта  
 $c_1$  – множество направлений экспорта  $c + dn \leq c_1 \leq c + up$   
Cart – операция взятия декартова произведения - вектора интервалов, например,  $Cart((-1, 0, -1), (1, 1, 0))$  имеет 12 элементов (параллелепипед  $3 \times 2 \times 2$ )

## Узлы:

**F** – вычисляет силу взаимодействия пары  
 **$\Sigma F$**  – суммирует силы в рамках кубоида  
 **$\Sigma ff$**  – суммирует парциальные силы  
**P** – вычисляет новые координаты и скорости  $(r, v)$ , посылая ее соседям  $c_1$  и на новое место  $c'$   
**R** – подача координат на **F** и обратного адреса на  **$\Sigma F$**   
**Start** – инициация процесса при  $t=0$

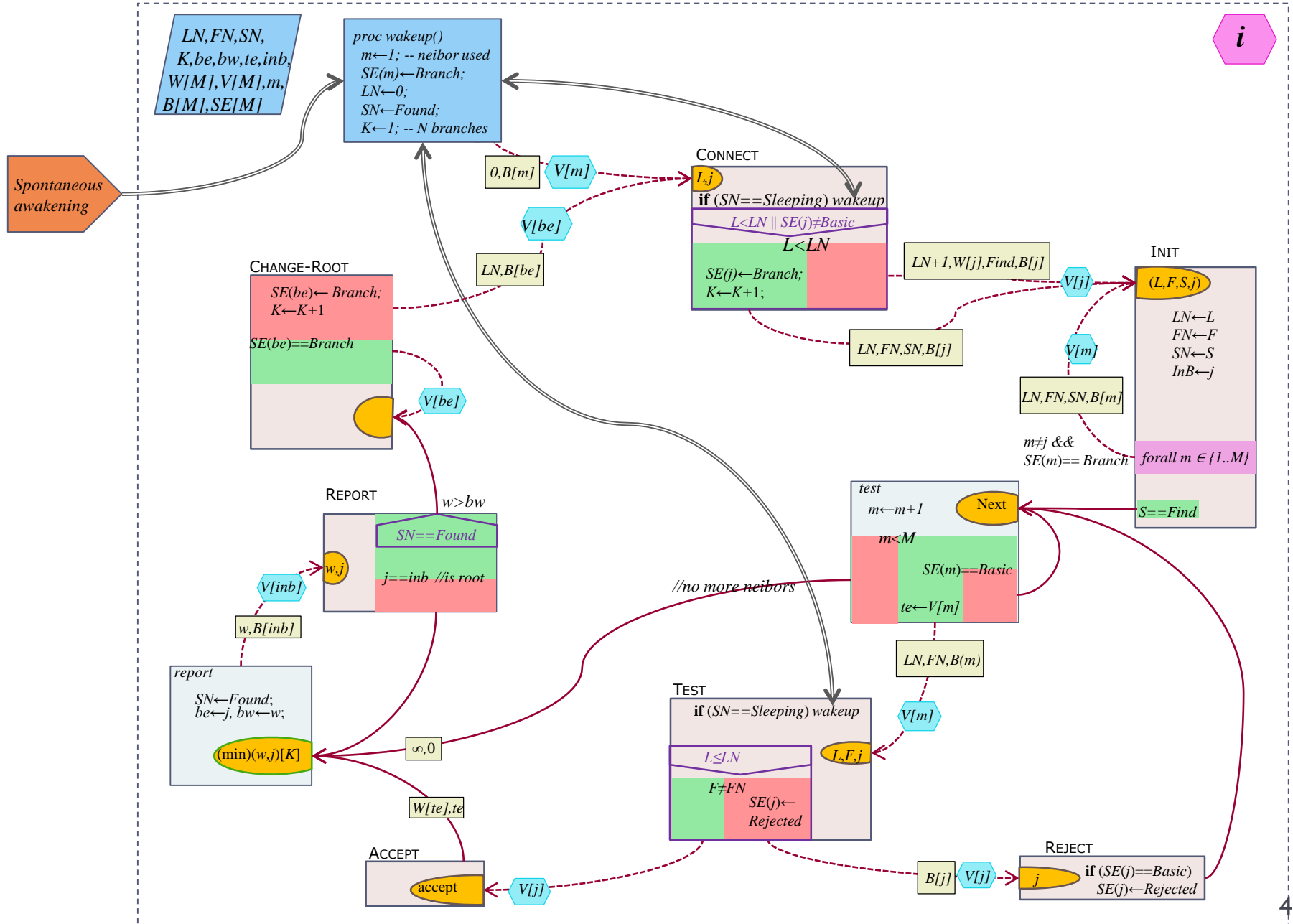
# The Louvain Algorithm Flowgraph

according to Q. Xinyu et.al. Scalable Community Detection with the Louvain Algorithm, IPDPS-2015, May, 2015.





# GHS algorithm: Distributed minimum spanning tree (without mutual reject optimization)



# Описание алгоритма задачи N тел на обычном математическом языке

$F_{tij} = m_i d_{tij} /  d_{tij} ^3$	Действие тела $j$ на тело $i$ в момент времени $t$
$d_{tij} = r_{ti} - r_{tj}, \quad i \neq j$	Положение тела $i$ относительно тела $j$ в момент времени $t$
$r_{t+1,i} = r_{ti} + v_{ti}^+ \Delta t$	Положение тела $i$ в момент времени $t+1$
$v_{ti}^+ = v_{ti} + \Delta v_{ti}$	Скорость тела $i$ в момент времени $t+1/2$
$v_{ti} = v_{ti}^- + \Delta v_{ti}$	Скорость тела $i$ в момент времени $t$
$v_{t,i+1}^- = v_{ti}^+$	Скорость тела $i$ в момент времени $t+1/2$
$a_{ti} = \sum_{i \neq j} F_{tij}$	Действие на тело $i$ всех других тел в момент времени $t$
$\Delta v_{ti} = a_{ti} (G/2) \Delta t$	Половинное приращение скорости тела $i$ в момент времени $t$ $G$ – гравитационная постоянная
Дано: $m_i, r_{0i}, v_{0i}, t > 0$	Массы и начальные положения и скорости всех тел
Найти: $r_{ti}, v_{ti}$	Положения и скорости всех тел в момент времени $t$

Такой перевод возможен при выполнении двух условий:

1. Все стрелки графа задачи обратимы
2. Каждый экземпляр каждого узла при выполнении активируется ровно один раз